TPS55285A 具有 I²C 接口的 22V、8A 降压/升压转换器

1 特性

- 可编程电源 (PPS) 支持 USB 供电 (USB PD)
  - 宽输入电压范围：2.4V 至 22V
  - 启动时的最小输入电压：3.0V
  - 可编程输出电压范围：0.8V 至 22V，步长为 10mV
  - ±1% 基准电压精度
  - 针对电缆上压降的可调输出电压补偿
  - 可编程输出电流限值高达 6.35A，步长为 50mA
- 在整个负载范围内具有高效率
  - V_{IN} = 20V、V_{OUT} = 5V 且 I_{OUT} = 5A 时效率为 92.0%
  - V_{IN} = 12V、V_{OUT} = 15V 且 I_{OUT} = 5A 时效率为 95.7%
  - V_{IN} = 12V、V_{OUT} = 20V 且 I_{OUT} = 3A 时效率为 92.3%
- I²C 编程
  - 输出使能 (OE) 开/关
  - 输出电压变化的转换率
  - 开关频率：400kHz、800kHz、1.6MHz、2.1MHz
  - 轻负载状态下的可编程 PFM 和 FPWM 模式
  - 展频启用/禁用
  - 输出放电启用/禁用
- 丰富的保护特性
  - 输入过压保护
  - 输出相对过压保护
  - 利用断续模式实现输出短路保护
  - 热关断保护
  - 平均电感器电流限值：8A
- 设计尺寸小
  - 四个低 $R_{DS(on)}$ 内部 MOSFET
  - 开关频率高达 2.1MHz（最大值）
  - 2.5mm × 3.5mm HotRod™ WQFN 封装

2 应用

- USB PD
- 无线充电器
- 集线站
- 笔记本电脑
- 固态硬盘 (SSD)

3 说明

TPS55285A 完全集成式同步降压/升压转换器经专门设计，可将电池电压、USB 电源传输 (USB PD) 或适配器电压转换为电源轨。TPS55285A 集成了四个 15mΩ MOSFET，以提供高效率和小尺寸设计。

TPS55285A 具有 2.4V（3.0V 上升）至 22V 的宽输入电压范围，并且能够输出 0.8V 至 22V 电压（步长为 10mV），以支持多种应用。TPS55285A 具有 8A 平均电感器电流限制，并可在降压模式下提供高达 7A 的输出电流。在升压模式下，该器件能够从 12V 输入提供 60W 或从 5V 输入提供 30W。

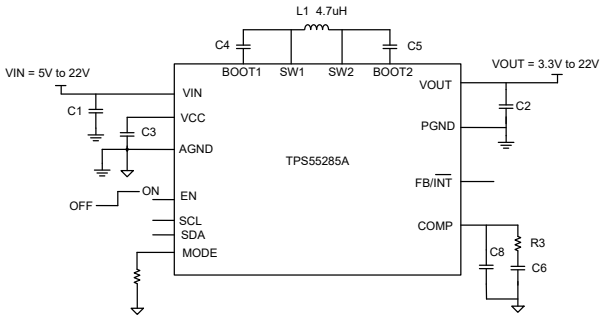
通过 I²C 接口，可动态地对 TPS55285A 的输出电压进行编程。启用器件时，默认输出电压为 5V。I²C 接口允许配置输出电压变化的转换率、开关频率，强制 PWM 模式运行。

TPS55285A 提供输入和输出过压保护、平均电感器电流限值、逐周期峰值电流限值和输出短路保护。TPS55285A 还允许在持续过载情况下，可通过输出电流限制安全运行，而无需外部输出电流检测电阻器和断续模式保护。

封装信息

器件型号	封装(1)	封装尺寸(2)
TPS55285A	VAL (WQFN-HR, 15)	3.5mm × 2.5mm

(1) 有关更多信息，请参阅节 11。
(2) 封装尺寸（长 × 宽）为标称值，并包括引脚（如适用）。



典型应用电路

内容

1 特性.....1
2 应用.....1
3 说明.....1
4 引脚配置和功能.....3
5 规格.....4
5.1 绝对最大额定值.....4
5.2 ESD 等级.....4
5.3 建议运行条件.....4
5.4 热性能信息.....4
5.5 电气特性.....5
5.6 I2C 时序要求.....8
5.7 典型特性.....9
6 详细说明.....12
6.1 概述.....12
6.2 功能方框图.....13
6.3 特性说明.....14
6.4 器件功能模式.....19
6.5 编程.....20
7 寄存器映射.....23
7.1 REF 寄存器（地址 = 0h、1h）[复位 = 10100100b、00000001b].....24
7.2 IOUT_LIMIT 寄存器（地址 = 2h）[复位 = 11100100b].....25
7.3 VOUT_SR 寄存器（地址 = 3h）[复位 = 00000001b].....26
7.4 VOUT_FS 寄存器（地址 = 4h）[复位 = 00000011b].....27
7.5 CDC 寄存器（地址 = 5h）[复位 = 11110000b].....28
7.6 MODE 寄存器（地址 = 6h）[复位 = 00100000b].....29
7.7 STATUS 寄存器（地址 = 7h）[复位 = 00000001b].....30
7.8 寄存器汇总.....31
8 应用和实施.....32
8.1 应用信息.....32
8.2 典型应用.....32
8.3 电源相关建议.....40
8.4 布局.....40
9 器件和文档支持.....42
9.1 器件支持.....42
9.2 接收文档更新通知.....42
9.3 支持资源.....42
9.4 商标.....42
9.5 静电放电警告.....42
9.6 术语表.....42
10 修订历史记录.....42
11 机械、封装和可订购信息.....43

Copyright © 2026 Texas Instruments Incorporated

4 引脚配置和功能

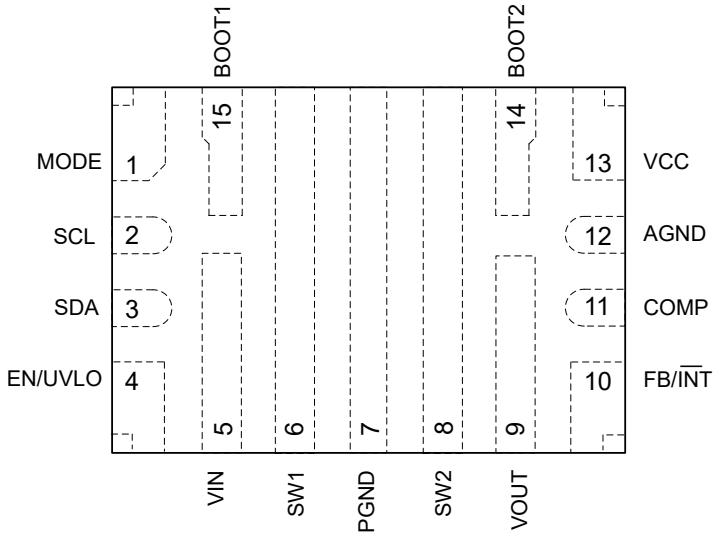


图 4-1. TPS55285A VAL 封装，15 引脚 WQFN-HR（透明顶视图）

表 4-1. 引脚功能

引脚		类型(1)	说明
编号	名称		
1	模式	I	通过在该引脚和 AGND 之间放置一个电阻器来选择 TPS55285A 默认输出使能 (OE) 位。
2	SCL	I	I^2C 接口的时钟。
3	SDA	I/O	I^2C 接口的数据。
4	EN/UVLO	I	启用逻辑输入和可编程输入电压欠压锁定 (UVLO) 输入。逻辑高电平可启用器件。逻辑低电平可禁用器件并使其进入关断模式。EN/UVLO 引脚上的电压高于 1.03V 的逻辑高电平电压后，该引脚可充当可编程 UVLO 输入，具有 1.05V 的内部基准电压。
5	VIN	PWR	降压/升压转换器的输入。
6	SW1	PWR	降压侧的开关节点引脚。SW1 引脚连接到内部降压低侧功率 MOSFET 的漏极，以及内部降压高侧功率 MOSFET 的源极。
7	PGND	PWR	器件的电源接地。
8	SW2	PWR	升压侧的开关节点引脚。SW2 引脚连接到内部升压低侧功率 MOSFET 的漏极，以及内部升压高侧功率 MOSFET 的源极。
9	VOUT	PWR	降压/升压转换器的输出。
10	FB/$\overline{INT}$	I/O	当器件设置为使用外部输出电压反馈时，连接到电阻分压器的中心抽头以对输出电压进行编程。当器件设置为使用内部反馈时，该引脚是故障指示灯开漏输出。当发生内部故障时，该引脚输出逻辑低电平。
11	COMP	O	内部误差放大器的输出。在该引脚和 AGND 引脚之间连接环路补偿网络。
12	AGND	—	器件的信号接地。
13	VCC	O	内部稳压器的输出。在此引脚和 AGND 引脚之间需要一个大于 4.7 μ F 的陶瓷电容器。
14	BOOT2	O	升压侧高侧 MOSFET 栅极驱动器的电源。在此引脚与 SW2 引脚之间连接一个 0.1uF 陶瓷电容器。
15	BOOT1	O	降压侧高侧 MOSFET 栅极驱动器的电源。在此引脚与 SW1 引脚之间连接一个 0.1uF 陶瓷电容器。

(1) I = 输入，O = 输出，PWR = 电源

Copyright © 2026 Texas Instruments Incorporated

5 规格

5.1 绝对最大额定值

在工作结温范围内测得（除非另有说明）(1)

		最小值	最大值	单位
端子上的电压范围(2)	VIN、SW1	-0.3	27	V
	VOUT，SW2	-0.3	27	V
	BOOT1	SW1 – 0.3	SW1 + 6	V
	BOOT2	SW2 – 0.3	SW2 + 6	V
	EN/UVLO、VCC、SCL、SDA、COMP、FB/$\overline{INT}$、MODE	-0.3	6	V
	EN/UVLO、SCL、SDA、COMP、FB/$\overline{INT}$、MODE	-0.3	VCC + 0.3	V
工作结温(3)	T_J	-40	150	°C
贮存温度	T_{stg}	-65	150	°C

(1) 超出“绝对最大额定值”运行可能会对器件造成永久损坏。“绝对最大额定值”并不表示器件在这些条件下或在“建议运行条件”以外的任何其他条件下能够正常运行。如果超出“建议运行条件”但在“绝对最大额定值”范围内使用，器件可能不会完全正常运行，这可能影响器件的可靠性、功能和性能并缩短器件寿命。
(2) 所有电压值都是以网络接地端为基准。
(3) 高结温会缩短工作寿命。结温高于 125℃ 时，工作寿命会缩短。

5.2 ESD 等级

			值	单位
$V_{(ESD)}$	静电放电	人体放电模型 (HBM)，符合 ANSI/ESDA/JEDEC JS-001 标准(1)	±2000	V
		充电器件模型 (CDM)，符合 ANSI/ESDA/JEDEC JS-002 标准(2)	±500	

(1) 上表所列级别是 ANSI、ESDA 和 JEDEC JS-001 规定的通过级别。JEDEC 文档 JEP155 指出：500V HBM 时能够在标准 ESD 控制流程下安全生产。
(2) 上表所列级别是 EIA-JEDEC JESD22-C101 规定的通过级别。JEDEC 文档 JEP157 指出：250V CDM 时能够在标准 ESD 控制流程下安全生产。

5.3 建议运行条件

在工作结温范围内测得（除非另有说明）

		最小值	标称值	最大值	单位
V_{IN}	输入电压范围 (Vout ≥ 3.0V)	2.4		22	V
	输入电压范围 (Vout < 3.0V)	3		22	V
V_{OUT}	输出电压范围	0.8		22	V
L	有效电感范围	1	4.7	10	µH
C_{IN}	有效输入电容范围	4.7	22		µF
C_{OUT}	有效输出电容范围	10	100	1000	µF
T_J	工作结温	-40		125	°C

5.4 热性能信息

热指标(1)		VAL (WQFN-HR) 15 引脚 标准	VAL (WQFN-HR) 15 引脚 EVM (2)	单位
$R_{\theta JA}$	结至环境热阻	47.6	33	°C/W
$R_{\theta JC(top)}$	结至外壳（顶部）热阻	22.5	不适用	°C/W
$R_{\theta JB}$	结至电路板热阻	7.8	不适用	°C/W

Copyright © 2026 Texas Instruments Incorporated

5.4 热性能信息（续）

热指标(1)		VAL (WQFN-HR) 15 引脚 标准	VAL (WQFN-HR) 15 引脚 EVM (2)	单位
Ψ_{JT}	结至顶部特征参数	0.6	0.7	°C/W
Y_{JB}	结至电路板特征参数	6.7	11.1	°C/W
$R_{\theta JC(bot)}$	结至外壳（底部）热阻	不适用	不适用	°C/W

(1) 有关新旧热指标的更多信息，请参阅*半导体和 IC 封装热指标*应用手册。
(2) 在 TPS55285AEVM 4 层 2oz/1oz/1oz/2oz 铜 PCB 上测得。

5.5 电气特性

T_J = -40°C 至 125°C，V_{IN} = 12V，V_{OUT} = 15V。除非另有说明，否则典型值是在 T_J = 25°C 时给出。

参数		测试条件	最小值	典型值	最大值	单位
电源						
V_{IN}	输入电压范围		2.4		22	V
V_{VIN_UVLO}	欠压锁定阈值	V_{IN} 上升	2.8	2.9	3.0	V
		V_{IN} 下降，V_{OUT} < 3V	2.6	2.7	2.8	V
		V_{IN} 下降，V_{OUT} ≥ 3V	2.31	2.33	2.38	V
V_{VIN_OVP}	输入过压保护阈值	上升阈值	22	22.5	23	V
$V_{VIN_OVP_HYS}$	输入过压保护迟滞			0.9		V
I_Q	流入 VIN 引脚的静态电流	IC 启用，无负载，无开关。V_{IN} = 3.0V 至 22V，V_{OUT} = 0.8V，V_{FB} = V_{REF} + 0.1V，Tj 最高 125°C		750		μA
	流入 VOUT 引脚的静态电流	IC 启用，无负载，无开关，V_{IN} = 3.0V，V_{OUT} = 3V 至 22V，V_{FB} = V_{REF} + 0.1V，Tj 最高 125°C		700		μA
I_{SD}	流入 VIN 引脚的关断电流	IC 禁用，V_{IN}= 3.0V 至 22V，TJ 最高 125°C		1.3	3.8	μA
V_{CC}	内部稳压器输出	V_{IN} = 8V，V_{OUT} = 22V，I_{VCC} = 20mA	5.0	5.2	5.4	V
EN/UVLO						
V_{EN_H}	EN 逻辑高电平阈值	V_{CC} = 3.0V 至 5.5V			1.03	V
V_{EN_L}	EN 逻辑低电平阈值	V_{CC} = 3.0V 至 5.5V	0.4			V
V_{EN_HYS}	使能阈值迟滞	V_{CC} = 3.0V 至 5.5V	0.025			V
V_{UVLO}	EN/UVLO 引脚上的 UVLO 上升阈值	V_{CC} = 3.0V 至 5.5V	1	1.05	1.1	V
V_{UVLO_HYS}	UVLO 阈值迟滞	V_{CC} = 3.0V 至 5.5V		13		mV
I_{UVLO}	EN/UVLO 引脚上的拉电流	$V_{EN/UVLO}$ = 1.3V	4.5	5	5.5	μA
输出						
V_{OUT}	输出电压范围		0.8		22	V
$V_{VOUT_OVP_FB}$	相对于 FB 上升检测到的值		110.5	115	120	%
$V_{VOUT_OVP_FB_HYS}$	迟滞			2.3		%
I_{FB_LKG}	FB 引脚上的漏电流	Tj 高达 125°C			100	nA
I_{VOUT_LKG}	流入 VOUT 引脚的漏电流	IC 禁用，V_{OUT} = 22V，V_{SW2} = 0V，Tj 高达 125°C		0.13	20	μA
I_{DISCHG}	输出放电电流，OE 关断	V_{OUT} = 22V，V_{CC} = 5.2V	40	100	170	mA
	输出放电电流，EN 和 V_{IN} 关断	V_{OUT} = 22V，V_{CC} = 5.2V	30	60	105	mA

Copyright © 2026 Texas Instruments Incorporated

5.5 电气特性（续）

T_J = -40°C 至 125°C，V_{IN} = 12V，V_{OUT} = 15V。除非另有说明，否则典型值是在 T_J = 25°C 时给出。

参数		测试条件	最小值	典型值	最大值	单位
内部基准 DAC						
	基准电压 DAC 的分辨率			11		位
V_{OUT_FULL}	V_{REF} 设为 1.129V 时的输出电压	VOUT_FS = 02h，REF = 0780h，V_{REF} = 1.129V	14.78	15	15.22	V
V_{OUT_FULL}	V_{REF} 设为 1.129V 时的输出电压	VOUT_FS = 01h，REF = 0780h，V_{REF} = 1.129V	9.85	10	10.15	V
V_{OUT_FULL}	V_{REF} 设为 1.129V 时的输出电压	VOUT_FS = 00h，REF = 0780h，V_{REF} = 1.129V	4.93	5	5.07	V
V_{OUT_ZERO}	V_{REF} 设为 45mV 时的输出电压	VOUT_FS = 03h，REF = 0000h，V_{REF} = 45mV	0.74	0.8	0.86	V
		VOUT_FS = 02h，REF = 0000h，V_{REF} = 45mV	0.55	0.6	0.65	V
		VOUT_FS = 01h，REF = 0000h，V_{REF} = 45mV	0.36	0.4	0.44	V
		VOUT_FS = 00h，REF = 0000h，V_{REF} = 45mV	0.18	0.2	0.22	V
基准电压						
V_{REF}	使用外部反馈时 FB/$\overline{INT}$ 引脚上的基准电压	REF = 0780H 时的外部反馈	1.117	1.129	1.141	V
		REF = 058CH 时的外部反馈	0.837	0.846	0.855	V
		REF = 0334H 时的外部反馈	0.501	0.508	0.514	V
		REF = 01A4H 时的外部反馈	0.276	0.282	0.288	V
电源开关						
$R_{DS(on)}$	降压侧的低侧 MOSFET 导通电阻	V_{OUT} = 22V，V_{CC} = 5.2V		15.5		mΩ
	降压侧的高侧 MOSFET 导通电阻	V_{OUT} = 22V，V_{CC} = 5.2V		14.5		mΩ
	升压侧的低侧 MOSFET 导通电阻	V_{OUT} = 22V，V_{CC} = 5.2V		15.5		mΩ
	升压侧的高侧 MOSFET 导通电阻	V_{OUT} = 22V，V_{CC} = 5.2V		14.5		mΩ
内部时钟						
f_{SW}	开关频率	FSW = 00b	360	400	440	kHz
f_{SW}	开关频率	FSW = 11b	1900	2100	2300	kHz
t_{OFF_min}	最短关闭时间	升压模式		90	145	ns
t_{ON_min}	最短开启时间	降压模式		90	130	ns
电流限值						
I_{LIM_AVG}	平均电感器电流限值	V_{IN} = 8V，V_{OUT} = 15V，F_{SW} = 400kHz，FPWM	7	8		A
		V_{IN} = 8V，V_{OUT} = 15V，F_{SW} = 400kHz，PFM	7	8		A
I_{LIM_PK}	升压高侧的峰值电感器电流限制	V_{IN} = 8V，V_{OUT} = 15V，F_{SW} = 400kHz，FPWM		13		A
		V_{IN} = 8V，V_{OUT} = 15V，F_{SW} = 400kHz，PFM		13		A
输出电流限制						
I_{OUT_LIMIT} (1)	输出电流限制	I_{OUT_LIMIT} 寄存器 = 1001 0100b，Tj = -20°C ≅ 85°C，F_{SW} = 400kHz，CCM，V_{IN} = 19V，V_{OUT} = 5V	0.8	1	1.2	A

Copyright © 2026 Texas Instruments Incorporated

5.5 电气特性（续）

T_J = -40°C 至 125°C，V_{IN} = 12V，V_{OUT} = 15V。除非另有说明，否则典型值是在 T_J = 25°C 时给出。

参数		测试条件	最小值	典型值	最大值	单位
I_{OUT_LIMIT} (1)	输出电流限制	I_{OUT_LIMIT} 寄存器 = 1011 1100b，Tj = -20°C ≅ 85°C，F_{SW} = 400kHz，CCM，V_{IN} = 19V，V_{OUT} = 5V	2.8	3	3.2	A
		I_{OUT_LIMIT} 寄存器 = 1110 0100b，Tj = -20°C ≅ 85°C，F_{SW} = 400kHz，CCM，V_{IN} = 19V，V_{OUT} = 5V	4.7	5	5.3	A
电缆压降补偿						
V_{OUT_CDC}	针对电缆压降补偿的 VOUT 增加	CDC[2:0] = 111，INTFB = 11b，I_{OUT} = 5A	588	700	800	mV
		CDC[2:0] = 111，INTFB = 11b，I_{OUT} = 1A，FPWM	24	140	238	mV
		CDC[2:0] = 001，INTFB = 11b，I_{OUT} = 5A	60	100	125	mV
		CDC[2:0] = 001，INTFB = 11b，I_{OUT} = 1A，FPWM		15	48	mV
误差放大器						
I_{SINK}	COMP 引脚灌电流	V_{FB} = V_{REF} + 400mV，V_{COMP} = 1.1V，V_{CC} = 5V		20		μA
I_{SOURCE}	COMP 引脚拉电流	V_{FB} = V_{REF} - 400mV，V_{COMP} = 1.1V，V_{CC} = 5V		60		μA
V_{CCLPH}	COMP 引脚上的高钳位电压			1.2		V
V_{CCLPL}	COMP 引脚上的低钳位电压			0.7		V
G_{EA}	误差放大器跨导			190		μA/V
软启动						
t_{SS}	软启动时间		2.5	3.9	5.7	ms
展频						
断续						
t_{HICCUP}	断续停止时间			76		ms
模式						
I_{MODE}	来自 MODE 引脚的源电流		9	10	11	μA
V_{MODE_DT1}	MODE 引脚上的检测阈值电压		0.571	0.614	0.657	V
V_{MODE_DT2}	MODE 引脚上的检测阈值电压		0.322	0.351	0.380	V
V_{MODE_DT3}	MODE 引脚上的检测阈值电压		0.169	0.189	0.209	V
逻辑接口						
V_{I2C_IO}	I^2C 的 IO 电压范围		1.7		5.5	V
V_{I2C_H}	I^2C 输入高电平阈值	V_{CC} = 3.0V 至 5.5V			1.2	V
V_{I2C_L}	I^2C 输入低电平阈值	V_{CC} = 3.0V 至 5.5V	0.4			V
$I_{FB/\overline{INT}_H}$	输出高阻抗时流入 FB/$\overline{INT}$ 引脚的漏电流	$V_{FB/\overline{INT}}$ = 5V			100	nA
$V_{FB/\overline{INT}_L}$	FB/$\overline{INT}$ 引脚的输出低电压范围	4mA 灌电流		0.03	0.1	V
保护						
T_{SD}	热关断阈值	T_J 上升		175		°C
T_{SD_HYS}	热关断迟滞	T_J 降至 Tsd 以下		20		°C

(1) 基于工程样品表征

Copyright © 2026 Texas Instruments Incorporated

5.6 I2C 时序要求

T_J = -40°C 至 125°C，V_{IN} = 12V，V_{OUT} = 15V。除非另有说明，否则典型值是在 T_J = 25°C 时给出。

参数		测试条件	最小值	典型值	最大值	单位
I2C TIMING						
f_{SCL}	SCL 时钟频率		100		1000	kHz
t_{BUF}	STOP 与 START 条件之间的总线空闲时间	快速模式 +	0.5			µs
$t_{HD(STA)}$	（重复）START 条件后的保持时间		260			ns
t_{LOW}	SCL 时钟的低电平周期		0.5			µs
t_{HIGH}	SCL 时钟的高电平周期		260			ns
$t_{SU(STA)}$	重复 START 条件的建立时间		260			ns
$t_{SU(DAT)}$	数据设置时间		50			ns
$t_{HD(DAT)}$	数据保持时间		0			µs
t_{RCL}	SCL 信号的上升时间				120	ns
t_{RCL1}	重复 START 状态和 ACK 位之后的 SCL 信号上升时间				120	ns
t_{FCL}	SCL 信号的下降时间				120	ns
t_{RDA}	SDA 信号的上升时间				120	ns
t_{FDA}	SDA 信号的下降时间				120	ns
$t_{SU(STO)}$	停止条件的建立时间		260			ns
C_B	SDA 和 SCL 的容性负载				200	pF

Copyright © 2026 Texas Instruments Incorporated

5.7 典型特性

V_{IN} = 12V，T_A = 25°C，f_{SW} = 400kHz（除非另有说明）。

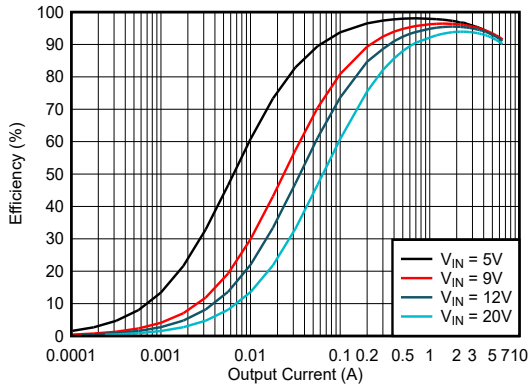


图 5-1. 效率与输出电流间的关系，V_{OUT} = 5V，FPWM

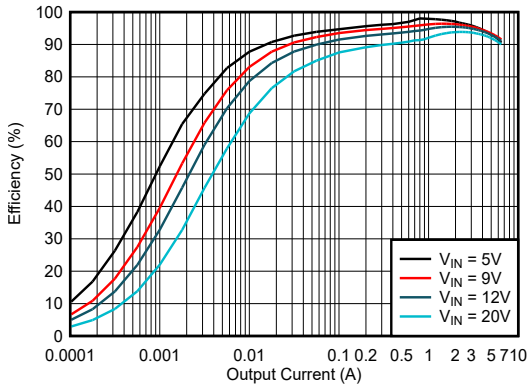


图 5-2. 效率与输出电流间的关系，V_{OUT} = 5V，PFM

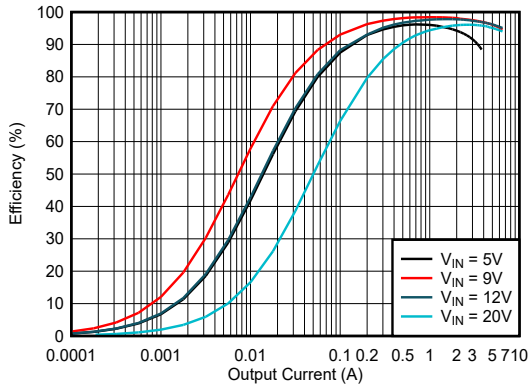


图 5-3. 效率与输出电流间的关系，V_{OUT} = 9V，FPWM

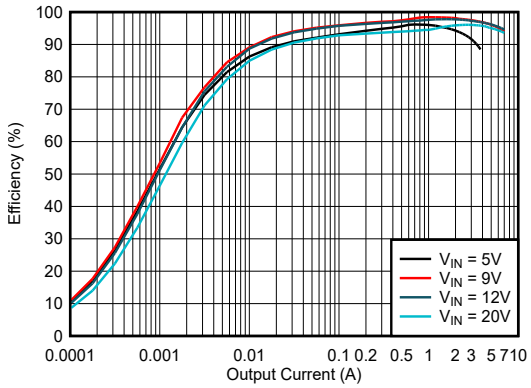


图 5-4. 效率与输出电流间的关系，V_{OUT} = 9V，PFM

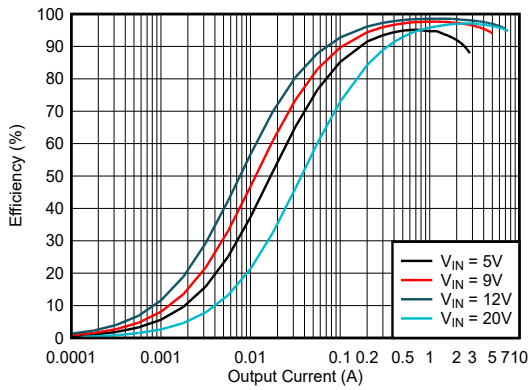


图 5-5. 效率与输出电流间的关系，V_{OUT} = 12V，FPWM

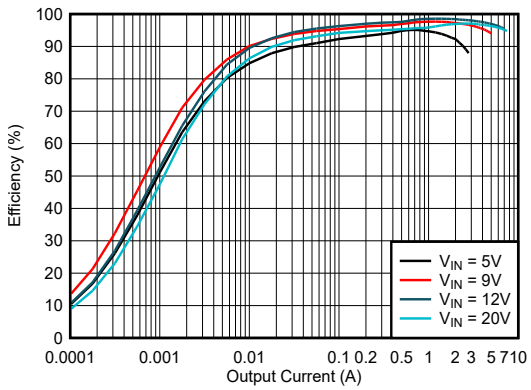


图 5-6. 效率与输出电流间的关系，V_{OUT} = 12V，PFM

Copyright © 2026 Texas Instruments Incorporated

5.7 典型特性（续）

V_{IN} = 12V，T_A = 25°C，f_{SW} = 400kHz（除非另有说明）。

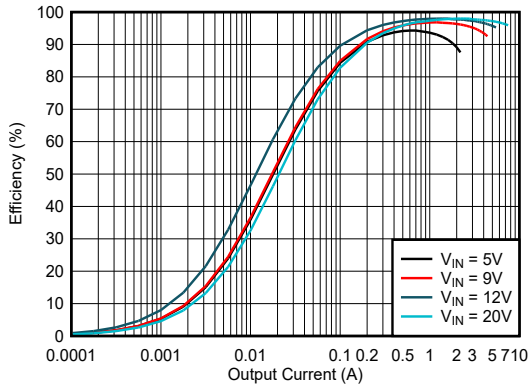


图 5-7. 效率与输出电流间的关系，V_{OUT} = 15V，FPWM

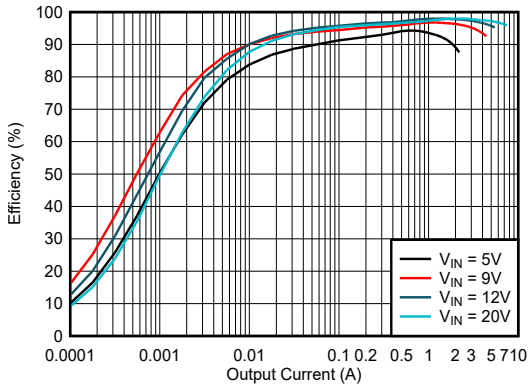


图 5-8. 效率与输出电流间的关系，V_{OUT} = 15V，PFM

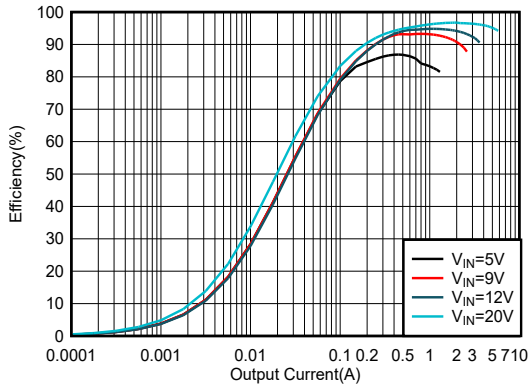


图 5-9. 效率与输出电流间的关系，V_{OUT} = 20V，FPWM

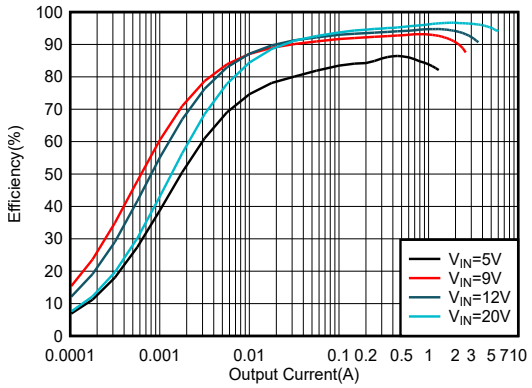


图 5-10. 效率与输出电流间的关系，V_{OUT} = 20V，PFM

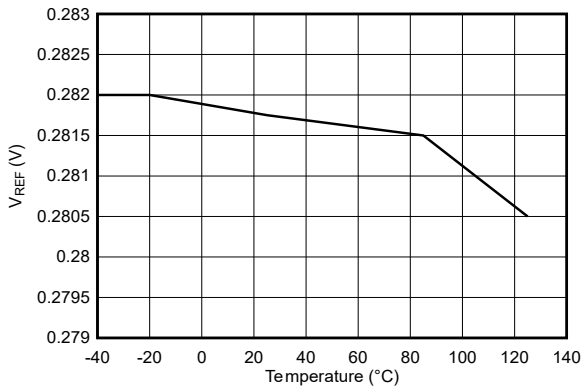


图 5-11. 基准电压与温度间的关系 (V_{REF} = 0.282V)

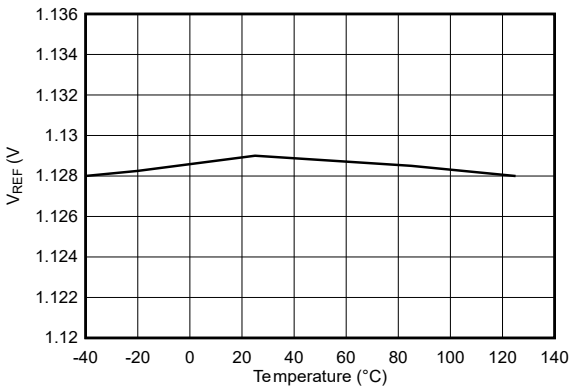


图 5-12. 基准电压与温度间的关系 (V_{REF} = 1.129V)

Copyright © 2026 Texas Instruments Incorporated

5.7 典型特性（续）

V_{IN} = 12V，T_A = 25°C，f_{SW} = 400kHz（除非另有说明）。

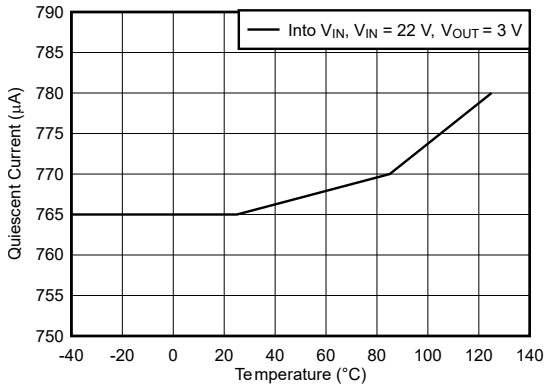


图 5-13. 静态电流与温度间的关系

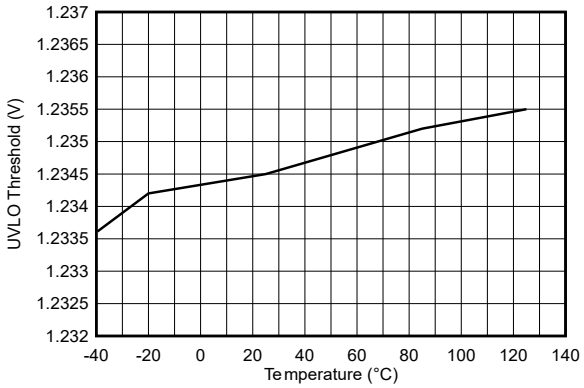


图 5-14. ENABLE/UVLO 上升阈值与温度间的关系

Copyright © 2026 Texas Instruments Incorporated

6 详细说明

6.1 概述

TPS55285A 是集成了四个 MOSFET 的 8A 降压/升压直流/直流转换器。TPS55285A 在 2.4V 至 22V 的宽输入电压范围内工作，输出电压为 0.8V 至 22V。根据输入电压和设置的输出电压，TPS55285A 可以在降压模式、降压/升压模式和升压模式之间平稳转换。当输入电压大于输出电压时，TPS55285A 在降压模式下运行，而当输入电压小于输出电压时，则在升压模式下运行。当输入电压接近输出电压时，TPS55285A 以一个周期降压和一个周期升压的模式交替运行。

TPS55285A 使用平均电流模式控制方案。电流模式控制可提供简化的环路补偿，对负载瞬态的快速响应以及固有的线路电压抑制。误差放大器将输出电压的反馈电压与内部基准电压进行比较。误差放大器的输出决定了平均电感器电流。

在中等负载到重负载电流下，TPS55285A 会在固定频率 PWM 模式下运行。在轻负载条件下，TPS55285A 能够配置为自动转换到 PFM 模式，或通过设置内部寄存器中的相应位强制进入 PWM 模式。

TPS55285A 能够通过 I^2C 接口设置内部寄存器来调节输出电压。一个内部 11 位 DAC 会调整与写入 DAC 寄存器的值相关的基准电压。该器件还能够限制输出电流，无需外部电流检测电阻器，输出电流限值可通过内部寄存器进行设置。

TPS55285A 提供典型值为 8A 的平均电感器电流限制。此外，当电感器的峰值电流高于峰值电流限制时，该器件还会提供逐周期的电感器峰值电流限制功能。

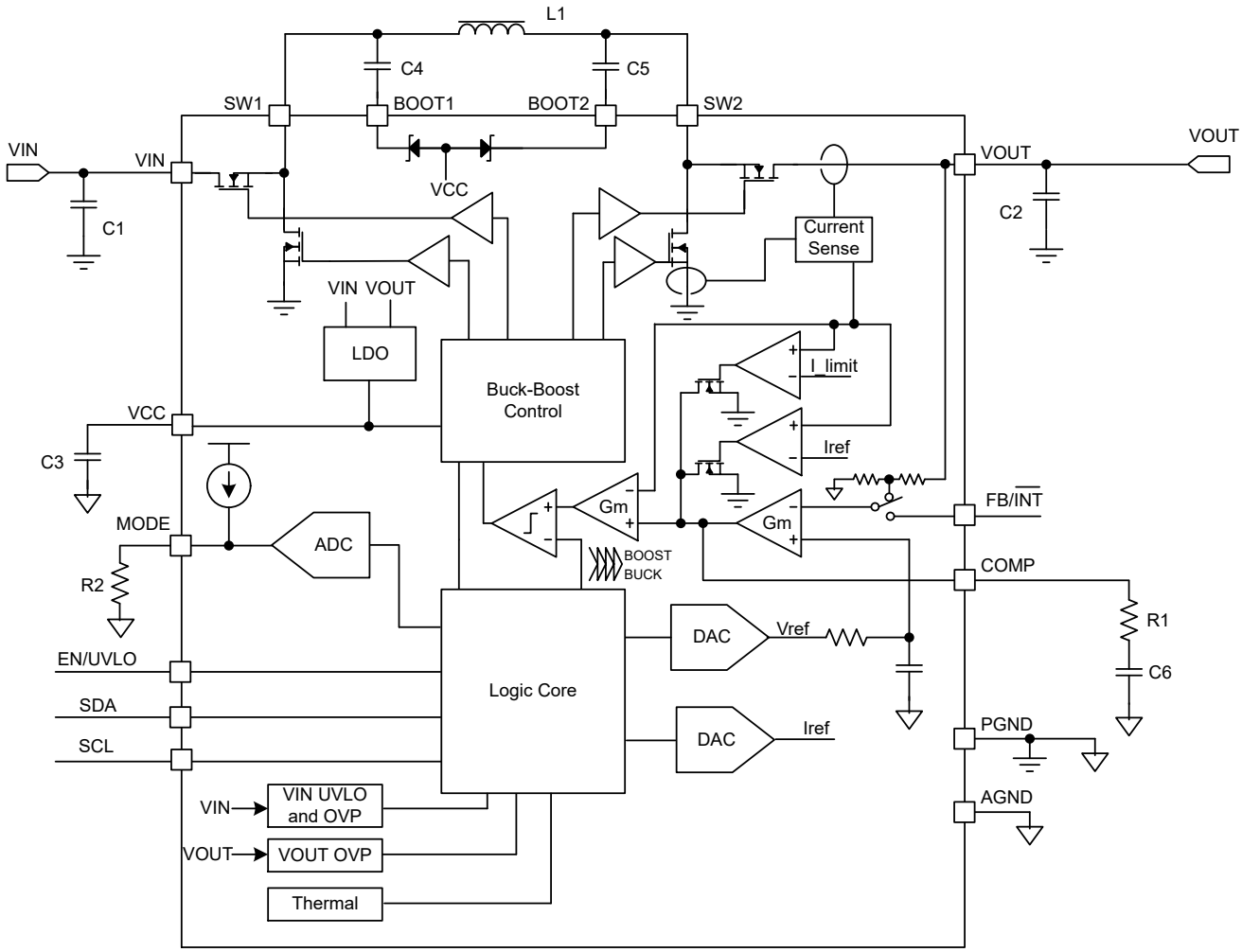
EN/UVLO 引脚上的 1.05V 精确电压阈值和 5μA 拉电流，支持带迟滞的可编程输入欠压锁定 (UVLO)。当输入电压高于 22.5V 时，输入过压保护 (OVP) 特性会关闭器件以防止损坏。

输出过压保护 (OVP) 特性会关闭高侧 FET，以防损坏由 TPS55285A 供电的器件。

TPS55285A 提供断续模式选项，可在输出短路时减少电源元件中的发热。启用断续模式后，TPS55285A 会关断 76ms 并在软启动时重新启动。

Copyright © 2026 Texas Instruments Incorporated

6.2 功能方框图


L1
C4
C5
SW1
BOOT1
BOOT2
SW2
VIN
VIN
C1
VCC
VOUT
VOUT
C2
Current Sense
VIN VOUT
LDO
Buck-Boost Control
I_limit
Iref
VCC
C3
MODE
ADC
Gm
Gm
BOOST
BUCK
FB/INT
COMP
R2
R1
C6
EN/UVLO
SDA
SCL
Logic Core
DAC
Vref
DAC
Iref
PGND
AGND
VIN
VIN UVLO and OVP
VOUT
VOUT OVP
Thermal

6.3 特性说明

6.3.1 VCC 电源

为 TPS55285A 供电的内部 LDO 在 VCC 引脚上输出稳定的 5.2V 电压。当 V_{IN} 小于 V_{OUT} 时，内部 LDO 通过比较 V_{IN} 与 6.2V 上升阈值（具有 0.3V 迟滞）来选择电源。当 V_{IN} 高于 6.2V 时，LDO 的电源为 V_{IN}。当 V_{IN} 低于 5.9V 时，LDO 的电源为 V_{OUT}。当 V_{OUT} 小于 V_{IN} 时，内部 LDO 通过比较 V_{OUT} 与 6.2V 上升阈值（具有 0.3V 迟滞）来选择电源。当 V_{OUT} 高于 6.2V 时，LDO 的电源为 V_{OUT}。当 V_{OUT} 低于 5.9V 时，LDO 的电源为 V_{IN}。表 6-1 展示了内部 LDO 的电源选择。

表 6-1. V_{CC} 电源逻辑

V_{IN}	V_{OUT}	V_{CC} LDO 的输入
V_{IN} > 6.2V	V_{OUT} > V_{IN}	V_{IN}
V_{IN} < 5.9V	V_{OUT} > V_{IN}	V_{OUT}
V_{IN} > V_{OUT}	V_{OUT} > 6.2V	V_{OUT}
V_{IN} > V_{OUT}	V_{OUT} < 5.9V	V_{IN}

6.3.2 默认输出使能 (OE) 位状态

通过在 MODE 引脚和 AGND 引脚之间放置不同的电阻器，TPS55285A 会选择默认的输出使能 (OE) 位值。输出使能位是用于控制 06H 寄存器中器件输出的逻辑位。

如果默认 OE 位设置为 0，当 V_{IN} 和 EN/UVLO 引脚超过 UVLO 阈值时，器件不会切换，直到 06H 寄存器中的 OE 位设置为 1 为止。

如果默认 OE 位设置为 1，04H 寄存器中的 FB 位也会自动设置为 1，以选择外部反馈网络。V_{IN} 和 EN/UVLO 引脚超过 UVLO 阈值后，器件就开始以 282mV V_{REF} 进行开关。在这种情况下，需要外部反馈电阻器。

表 6-2. I^2C 目标地址和默认 OE 位

电阻值 (kΩ)	I^2C 目标地址	默认 OE 位
0	75H	0
24.9	75H	1
48.7	74H	0
82.5 或 OPEN	74H	1

6.3.3 输入欠压锁定

输入电压低于 2.4V 时，TPS55285A 将被禁用。当输入电压高于 3V 时，可以将 EN 引脚拉至 1.1V 以上的高电压，来启用 TPS55285A。

Copyright © 2026 Texas Instruments Incorporated

6.3.4 使能和可编程 UVLO

TPS55285A 具有双功能使能和欠压锁定 (UVLO) 电路。当 VIN 引脚上的输入电压高于 3V 的输入 UVLO 上升阈值，并且 EN/UVLO 引脚被拉至 EN 逻辑高阈值 V_{EH_H} 以上，但低于使能阈值 V_{UVLO} 时，TPS55285A 将被启用，但仍处于待机模式。TPS55285A 开始检测 MODE 引脚和接地引脚间的电阻。检测之后，TPS55285A 选择 I^2C 目标地址并相应地选择默认 OE 位状态。

EN/UVLO 引脚具有精确的 UVLO 电压阈值，可支持具有迟滞的可编程输入欠压锁定。当 EN/UVLO 引脚电压大于 UVLO 阈值 1.05V 时，TPS55285 将被启用以进行 I^2C 通信和开关操作。迟滞电流 I_{UVLO_HYS} 从 EN/UVLO 引脚流出，提供的迟滞可防止输入电压缓慢变化时出现噪声引起的开/关抖动。

使用 图 6-1 中所示的电阻分压器，可使用 方程式 1 计算导通阈值。

$$V_{IN(UVLO_ON)} = V_{UVLO} \times (1 + \frac{R1}{R2}) \quad (1)$$

其中

- V_{UVLO} 是 EN/UVLO 引脚上 1.05V 的 UVLO 阈值

UVLO 导通阈值和关断阈值之间的迟滞由 EN/UVLO 电阻分压器中的上电阻器设置，可通过 方程式 2 计算。

$$\Delta V_{IN(UVLO)} = I_{UVLO_HYS} \times R1 \quad (2)$$

其中

- 当 EN/UVLO 引脚上的电压高于 V_{UVLO} 时，I_{UVLO_HYS} 为 EN/UVLO 引脚流出的拉电流。

使用电阻分压器对 VIN UVLO 阈值进行编程时，EN/UVLO 引脚电压必须小于 5.5V。

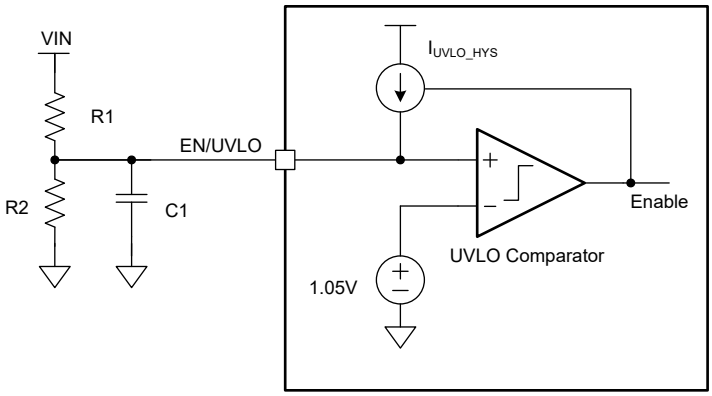


图 6-1. EN/UVLO 引脚上具有电阻分压器的可编程 UVLO

将 NMOSFET 与电阻分压器配合使用，可实现逻辑使能和可编程 UVLO，如图 6-2 所示。EN 逻辑高电平需要大于使能阈值加上 NMOSFET Q1 的 V_{th}。Q1 还消除了关断模式下从 VIN 通过 UVLO 电阻分压器接地的漏电流。

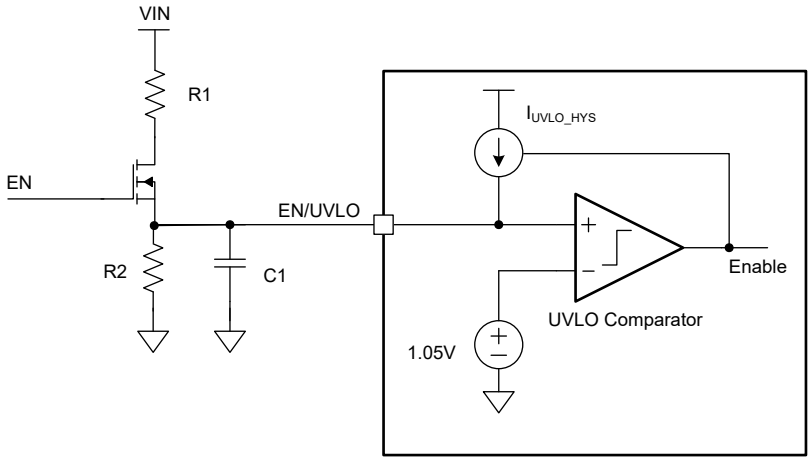


图 6-2. 逻辑使能和可编程 UVLO

外部 EN 逻辑信号需要遵循 图 6-3 中所示的上电时序。VIN 上升（斜升）后，EN 逻辑信号需要变为高电平。

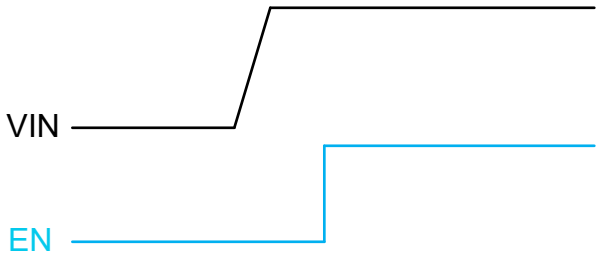


图 6-3. 上电序列要求

6.3.5 软启动

当输入电压高于 UVLO 阈值且 EN/UVLO 引脚电压高于使能 UVLO 阈值时，TPS55285A 已准备好接受来自 I²C 控制器器件的命令。I²C 控制器器件需要配置 TPS55285A 的内部寄存器。

I²C 控制器器件将 OE 位设置为 1 或器件检测到默认 OE 位为 1 后，TPS55285A 会在典型值 3.9ms 内将内部基准电压从 0V 斜升至内部寄存器 00h 和 01h 中设置的电压，从而开始斜升输出电压。

6.3.6 关断和负载放电

EN/UVLO 引脚电压被拉至 0.4V 以下时，TPS55285A 处于关断模式，并且所有功能都会被禁用。所有内部寄存器都复位为默认值。当 EN/UVLO 引脚处于高逻辑电平并且 OE 位清零时，TPS55285A 会关闭开关操作，但使 I²C 接口保持有效。

同时，如果寄存器 06h 中的 DISCHG 位设置为 1，当 OE 位清除至 0 时，TPS55285A 将通过内部恒定电流 I_{DISCHG}，将输出电压放电到 0.8V 以下。如果输入电压 UVLO 被触发或 EN/UVLO 引脚被拉至低逻辑电平，TPS55285A 输出电压将被放电，直至 VCC 低于 V_{CC_UVLO}。

Copyright © 2026 Texas Instruments Incorporated

6.3.7 开关频率

TPS55285A 使用固定频率平均电流控制方案。开关频率由寄存器 06H 中的 FSW 位设置，有四个选项：400kHz、800kH、1.6MHz、2.1MHz。

为了降低高功率应用中的开关功率损耗，TI 建议将开关频率设置为 400kHz 或 800kHz。如果系统为了实现更小的设计尺寸，需要 1.6MHz 或 2.1MHz 的较高开关频率，TI 建议在较低的开关电流下运行，以实现更好的热性能。

TI 建议在启用 OE 位前先设置开关频率。

6.3.8 开关频率抖动

TPS55285A 提供了可选开关频率抖动，通过 06H 寄存器中的 SPREADSPECTRUM 位在 FPWM 模式下启用，以便最大限度地减少 EMI 干扰。此器件使用三角抖动来扩展开关频率，展频范围为 FSW 位设置的正常频率的 ±7%。当正常开关频率为 400kHz 时，三角抖动的频率为 1.5kHz。当正常开关频率为 2.1MHz 时，三角抖动的频率为 9kHz。

6.3.9 电感器电流限制

TPS55285A 可实现峰值电流和平均电感器电流限制。平均电流模式控制环路使用升压桥臂高侧 MOSFET 上的电流检测信息，将电感器最大平均电流钳制于 8A（典型值）。

除了平均电流限制之外，还实现了瞬态下的峰值电流限制保护，可保护器件免受超出上限的过流情况的影响。

6.3.10 内部充电路径

两个高侧 MOSFET 驱动器中的每一个都从浮动自举电容器进行偏置，该电容器通常在低侧 MOSFET 导通时通过外部和内部自举二极管由 V_{CC} 重新充电。当 TPS55285A 仅在降压或升压区域运行时，其中一个高侧 MOSFET 会持续导通。从 VOUT 和 BOOT2 到 BOOT1，或从 VIN 和 BOOT1 到 BOOT2 的内部充电路径会将自举电容器充电至 V_{CC}，使高侧 MOSFET 保持导通状态。

6.3.11 输出电压设置

设置输出电压的方法有两种：更改反馈比和更改基准电压。TPS55285A 具有一个 11 位 DAC，可将基准电压设置为 45mV 至 1.2V。TPS55285A 通过设置寄存器 04h 中的 FB 位来选择内部反馈电阻分压器或外部电阻分压器。当 FB 位设置为 0 时，可在内部寄存器 04h 中设置输出电压反馈比。当 FB 位设置为 1 时，输出电压反馈比由外部电阻分压器设置。

当使用内部输出电压反馈设置时，有四个反馈比可通过写入寄存器 04H 的 INTFB[1:0] 位来编程。借助此功能，TPS55285A 将最大输出电压限制为不同的值。此外，输出电压变化的最小步长也相应地编程为 10mV、7.5mV、5mV 和 2.5mV。

如图 6-4 所示，当使用外部输出电压反馈电阻分压器时，可以使用 方程式 3 以 FB/$\overline{INT}$ 引脚上的基准电压计算输出电压。

$$V_{OUT} = V_{REF} \times (1 + \frac{R_{FB_UP}}{R_{FB_BT}}) \quad (3)$$

Copyright © 2026 Texas Instruments Incorporated

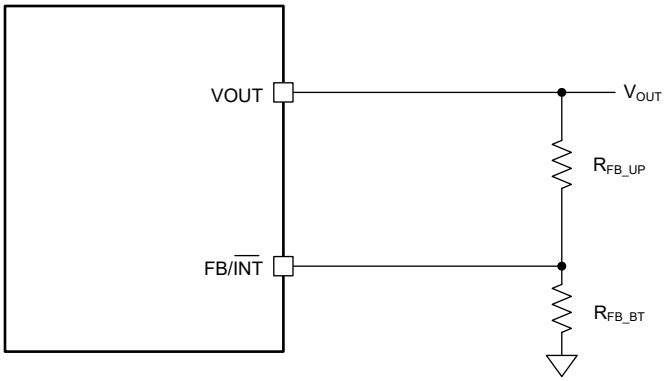


图 6-4. 由外部电阻分压器设置输出电压

TI 建议使用 100kΩ 的上拉电阻 R_{FB_UP}。将 11 位数据写入寄存器 00H 和 01H，FB/$\overline{INT}$ 引脚上的基准电压 V_{REF} 可在 45mV 到 1.2V 的范围内进行编程。

6.3.12 输出电流限制

TPS55285A 支持降压、降压/升压和升压模式下的输出电流限制功能，而无需外部电流检测电阻器。可通过 02H 寄存器中的 Current_Limit_Setting 位，在 500mA 至 6.35A 范围内对输出电流限制进行编程。可编程的输出电流限制步长为 50mA。

通过将 Current_Limit 寄存器中的 Current_Limit_EN 位复位为 0 来禁用输出电流限制。

6.3.13 输出电缆压降补偿

为了补偿 USB 端口的输出与供电设备之间的电缆上的压降，TPS55285A 可通过启用输出电缆电压降补偿功能，按照负载电流的比例提升输出电压。

默认情况下，电缆压降补偿功能处于禁用状态。将 CDC_OPTION 位设置为 1，以启用电缆压降补偿功能。将该值写入寄存器 05H 中的位 CDC [2:0] 以获得所需的电压补偿。

图 6-5 展示了输出电压上升值与检测到的输出电流间的关系。

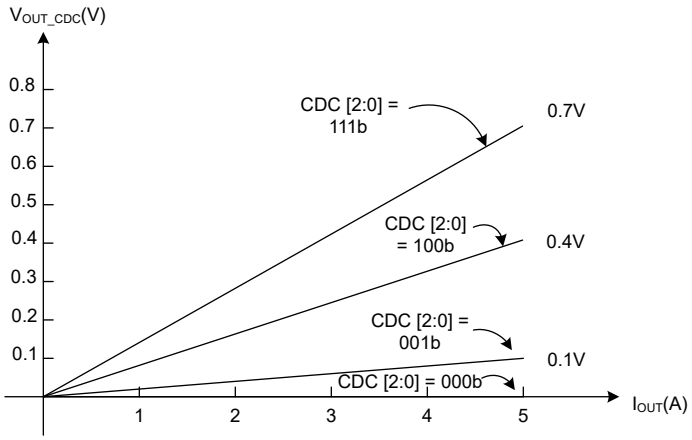


图 6-5. 输出电压上升值与输出电流间的关系

6.3.14 输入过压保护

TPS55285A 具有输入过压保护功能，在 FPWM 模式下，可在电流从输出端流向输入端且输入源不能灌入电流的情况下避免对器件造成任何损坏。当检测到 VIN 引脚上的输入电压通常高于 22.5V 时，内部软启动电路会复位，

Copyright © 2026 Texas Instruments Incorporated

但在触发 VIN OVP 时，所有内部寄存器值保持不变。当输入电压使迟滞值低于输入过压保护阈值时，转换器会自动重新启动。

6.3.15 输出过压保护

TPS55285A 可监测经过电阻分压的反馈电压以检测输出过压情况。当反馈电压超过目标电压的 115% 时，器件会停止开关，直到输出电压降至 2.3% 迟滞值。该功能可以保护连接到输出的电路，防止过压。选择内部反馈电阻器时，TPS55285A 会检测内部反馈电压以实现过压保护。

6.3.16 输出短路保护

除了平均电感器电流限制之外，TPS55285A 还可通过进入断续模式来实现输出短路保护。要启用断续模式，需要设置寄存器 06h 中的 HICCUP 位。在 3.9ms 的软启动时间之后，TPS55285A 可监控平均电感器电流和输出电压。每当发生输出短路，导致平均电感器电流达到设定的限值，并且输出电压低于 0.8V 后，TPS55285A 就会关断开关 76ms（典型值），然后重复软启动，时间为 3.9ms。断续模式有助于在输出短路或过流情况下减少 TPS55285A 上的总功率耗散。

6.3.17 热关断

TPS55285A 受热关断电路保护，此电路在内部结温超过 175°C（典型值）时关闭此器件。当热关断触发时，内部软启动电路会复位，但所有内部寄存器值都保持不变。当结温降至热关断阈值以下 20°C（典型值）的热关断迟滞以下时，转换器会自动重新启动。

6.4 器件功能模式

在轻负载条件下，TPS55285A 能够在 PFM 或强制 PWM 模式下运行，以满足不同的应用要求。PFM 模式可降低开关频率以减少开关损耗，从而在轻负载条件下实现高效率。FPWM 模式可保持开关频率不变，以避免出现不需要的低开关频率，但效率会低于 PFM 模式。

默认情况下，TPS55285A 在 PFM 模式下工作。要将器件设置为在强制 PWM 模式下工作，请将寄存器 06h 的 01 位设置为 1。

6.4.1 PWM 模式

在 FPWM 模式下，TPS55285A 在轻负载条件下保持开关频率不变。当负载电流减小时，内部误差放大器的输出也会降低，使平均电感器电流降低，减少从输入到输出的功率。如果输出电流进一步降低，在关断期间流经电感器的电流会降为零。即使流经 MOSFET 的电流为零，高侧 N-MOSFET 也不会关断。因此，电感器电流在变为零后会改变方向。功率流将从输出流到输入。在这种情况下效率较低。但是，在轻负载条件下使用固定开关频率时，没有可闻噪声或其他可能由低开关频率引起的问题。

Copyright © 2026 Texas Instruments Incorporated

6.4.2 节能模式

TPS55285A 可利用 PFM 模式提升轻负载条件下的效率。通过在内部寄存器中启用 PFM 功能，TPS55285A 可在轻负载条件下以 PFM 模式工作。当 TPS55285A 在轻负载条件下工作时，内部误差放大器的输出会降低，使电感器峰值电流降低，减少为负载提供的功率。如果输出电流进一步降低，在关断期间流经电感器的电流会降为零。TPS55285A 在降压模式下运行时，一旦电感器电流变为零，降压侧的低侧开关就会关闭，可防止从输出端到接地端的反向电流。TPS55285A 在升压模式下运行时，一旦电感器电流变为零，升压侧的高侧开关就会关闭，可防止从输出端到输入端的反向电流。输出电压下降后，TPS55285A 会继续执行开关。因此，PFM 模式可减少开关周期并消除反向电感器电流造成的功率损耗，从而在轻负载条件下实现高效率。

6.5 编程

TPS55285A 使用 I^2C 接口来灵活地对转换器参数进行编程。I^2C 是一种双向 2 线制串行接口。只需要两条总线线路：一条串行数据线 (SDA) 和一条串行时钟线 (SCL)。在执行数据传输时，I^2C 器件被视为控制器或目标。控制器是在总线上发起数据传输并生成时钟信号以允许该传输的器件。此时，任何被寻址的器件都被视为目标。

TPS55285A 作为地址为 75h 或 74h 的目标器件运行。从控制器器件（例如微控制器或数字信号处理器）接收控制输入，读取和写入内部寄存器 00h 至 07h。TPS55285A 的 I^2C 接口支持标准模式（高达 100kbit/s）和超快速模式（高达 1000kbit/s）。通过电流源或上拉电阻器将 SDA 和 SCL 连接到正电源电压。当总线空闲时，两条线路都处于高电压。

6.5.1 数据有效性

在时钟的高电平期间，SDA 线上的数据必须保持稳定。数据线的高电平或低电平状态仅可在 SCL 线上的时钟信号为低电平时发生变化。为每个已传输的数据位生成时钟脉冲后。

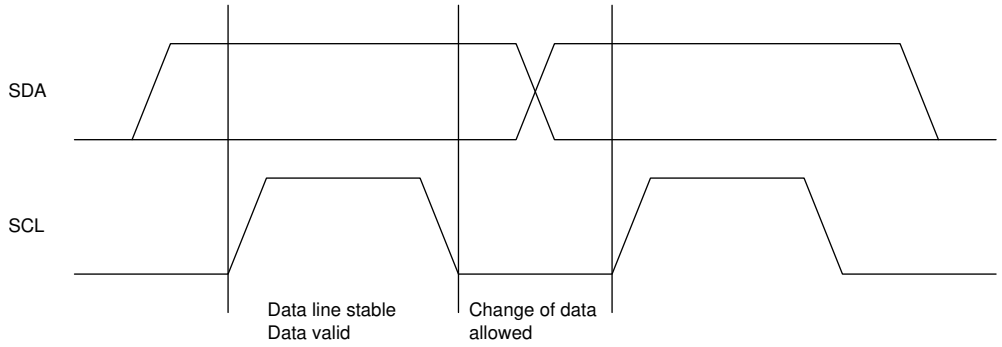


图 6-6. I^2C 数据有效性

6.5.2 启动条件和停止条件

所有事务均以 START (S) 开始，并以 STOP (P) 终止。当 SCL 为高电平时，SDA 线上从低电平到高电平的转换将定义 START 条件。当 SCL 为高电平时，SDA 线上从低电平到高电平的转换定义了 STOP 条件。

START 和 STOP 条件始终由控制器产生。总线在 START 条件之后被视为繁忙状态，在 STOP 条件之后被视为空闲状态。

Copyright © 2026 Texas Instruments Incorporated

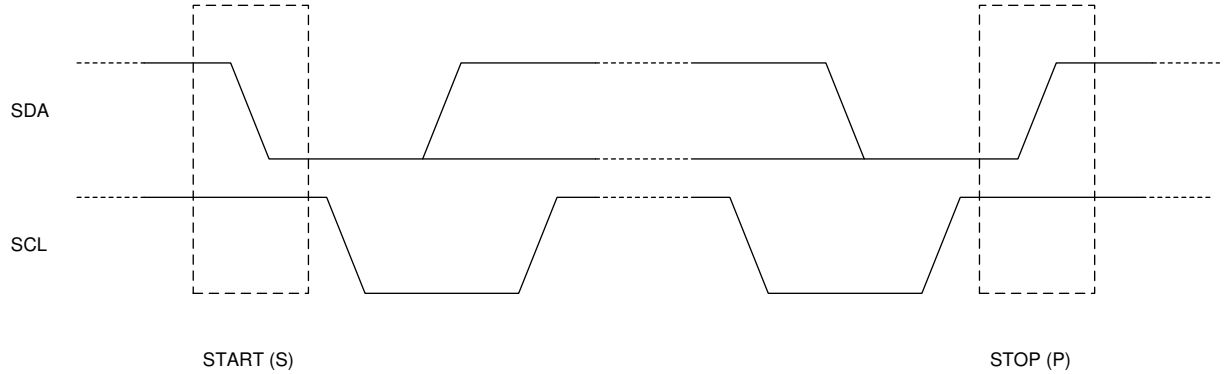


图 6-7. I²C START 和 STOP 条件

6.5.3 字节格式

SDA 线上每个字节的长度为八位。每次传输所要传输的字节数不受限制。每个字节必须后跟一个确认位。传输数据时，最高有效位 (MSB) 优先。如果目标在执行某个其他功能之前，没有接收或发送另外一个完整的数据字节，则目标能够将时钟线 SCL 保持为低电平，以强制控制器进入等待状态（时钟延展）。当目标准备好接收另一个数据字节并释放时钟线 SCL 时，数据传输将继续。

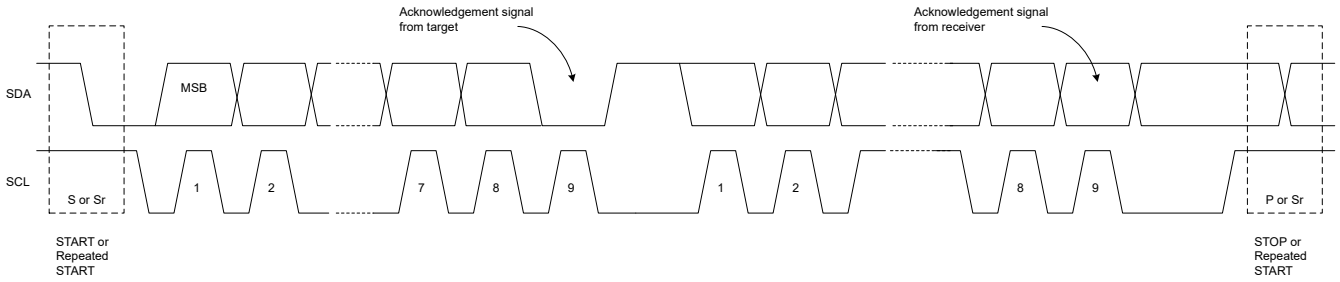


图 6-8. 字节格式

6.5.4 确认 (ACK) 和否定确认 (NACK)

确认会在每个字节之后发生。确认位允许接收器向发送器发送信号，指示已成功接收该字节且已发送另一个字节。所有时钟脉冲（包括确认第九个时钟脉冲）均由控制器生成。

发送器在确认时钟脉冲期间释放 SDA 线，因此接收器可将 SDA 线拉至低电平，并使其在此时钟脉冲的高电平期间保持稳定的低电平。

非确认信号是指 SDA 在第九个时钟脉冲期间保持高电平。然后，控制器生成 STOP（停止）来中止传输，或者生成重复的 START（开始）来开始新的传输。

6.5.5 目标地址和数据方向位

在 START 之后会发送目标地址。该地址为 7 位长，后跟第八位作为数据方向位（位 R/$\overline{W}$）。零表示传输 (WRITE)，一表示数据请求 (READ)。

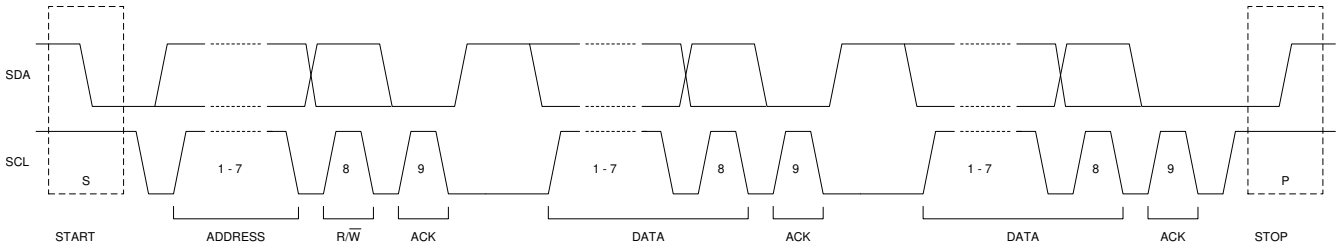


图 6-9. 目标地址和数据方向

Copyright © 2026 Texas Instruments Incorporated

6.5.6 单独读取和写入

图 6-10 和 图 6-11 所示为 I²C 通信的单字节写入和单字节读取格式。

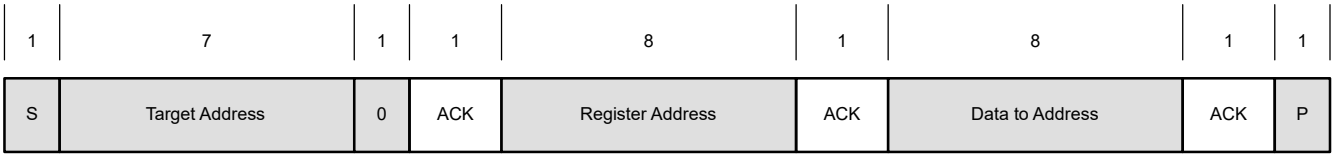


图 6-10. 单字节写入



图 6-11. 单字节读取

如果未定义寄存器地址，TPS55285A 会发回 NACK 并返回到空闲状态。

6.5.7 多重读取和多重写入

TPS55285A 支持多次读取和多次写入。

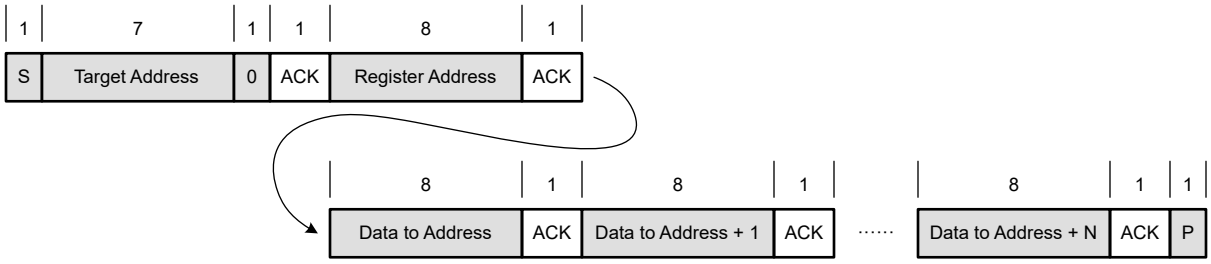


图 6-12. 多字节写入

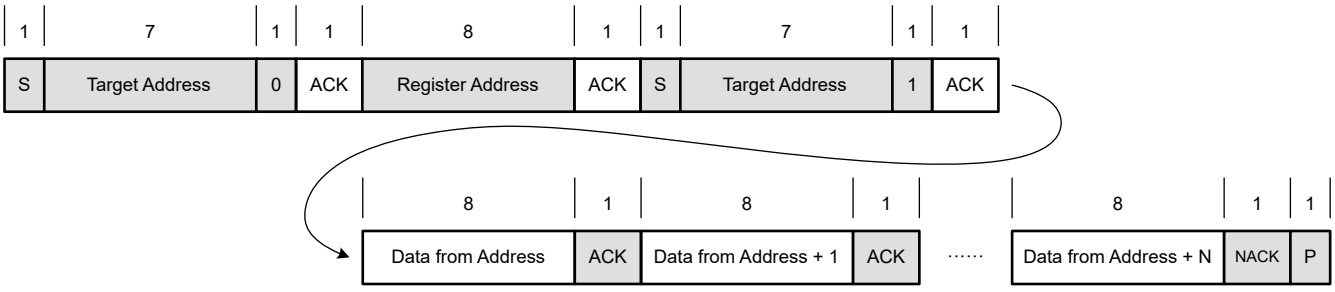


图 6-13. 多字节读取

Copyright © 2026 Texas Instruments Incorporated

7 寄存器映射

表 7-1 列出了器件寄存器的存储器映射寄存器。表 7-1 中未列出的所有寄存器偏移地址都应视为保留的位置，并且不应修改寄存器内容。

表 7-1. 器件寄存器

地址	首字母缩写词	寄存器名称	部分
0h、1h	REF	基准电压	转到
2h	IOUT_LIMIT	电流限值设置	转到
3h	VOUT_SR	压摆率	转到
4h	VOUT_FS	反馈选择	转到
5h	CDC	电缆补偿	转到
6h	模式	模式控制	转到
7h	状态	运行状态	转到

Copyright © 2026 Texas Instruments Incorporated

7.1 REF 寄存器（地址 = 0h、1h）[复位 = 10100100b、00000001b]

图 7-1 和图 7-2 中显示了 REF，表 7-2 中对此进行了介绍。

返回汇总表。

REF 设置 TPS55285A 的内部基准电压。01h 寄存器是高字节，00h 寄存器是低字节。寄存器 00h 的一个 LSB 表示内部基准电压 0.5645mV。默认寄存器值为 00000001 10100100b，等于 282mV。当寄存器值为 00000000 00000000b 时，基准电压为 45mV。当寄存器值为 00000111 10000000b 时，基准电压为 1.129V。TPS55285A 的输出电压还取决于输出反馈比，该反馈比在寄存器 04h 中设置或由外部电阻分压器设置。

在使用内部输出电压馈峰分压器时，输出电压 V_{OUT} 通过方程式 4 计算

$$V_{OUT} = \frac{V_{REF}}{INTFB} \quad (4)$$

在设置寄存器 06h 中的 OE 位之前，REF 寄存器由 I^2C 控制器进行配置。对于 5V 输出电压，将 REF 寄存器值设置为 00000001 10100100b。要设置内部基准电压，请先写入寄存器 00h，然后写入寄存器 01h。

图 7-1. REF_LSB

7	6	5	4	3	2	1	0
VREF							
R/W-10100100b							

图 7-2. REF_MSB

15	14	13	12	11	10	9	8
保留					VREF		
R-00000b					R/W-001b		

表 7-2. REF 寄存器字段说明

位	字段	类型	复位	说明
15-11	保留	R	00000b	保留
10-0	VREF	R/W	001 10100100b	设置内部基准电压 000 00000000b = 45mV 基准电压 000 00000001b = 45.5645mV 基准电压 000 00000010b = 46.129mV 基准电压 .....= ..... 001 10100100b = 282mV 基准电压（默认） .....= ..... 011 00110100b = 508mV 基准电压 .....= ..... 101 10001100b = 846mV 基准电压 .....= ..... 111 10000000b = 1129mV 基准电压 .....= ..... 111 11111110b = 1200mV 基准电压

Copyright © 2026 Texas Instruments Incorporated

7.2 IOUT_LIMIT 寄存器（地址 = 2h）[复位 = 11100100b]

图 7-3 展示了 IOUT_LIMIT，表 7-3 中对此进行了介绍。

返回汇总表。

IOUT_LIMIT 将目标输出电流限制从 500mA 设置为 6.35A。一个 LSB 表示 50mA 输出电流限制步长。位 7 会启用电流限制或禁用电流限制。

图 7-3. IOUT_LIMIT 寄存器

7	6	5	4	3	2	1	0
Current_Limit_EN	Current_Limit_Setting						
R/W-1b	R/W-1100100b						

表 7-3. IOUT_LIMIT 寄存器字段说明

位	字段	类型	复位	说明
7	Current_Limit_EN	R/W	1b	启用或禁用输出电流限制。 0b = 禁用输出电流限制 1b = 启用输出电流限制（默认）
6-0	Current_Limit_Setting	R/W	1100100b	设置输出电流限制目标 0000000b = 500mA 输出电流限制 0000001b = 500mA 输出电流限制 0000010b = 500mA 输出电流限制 …...= …... 0001010b = 500mA 输出电流限制 0001011b = 550mA 输出电流限制 0001100b = 600mA 输出电流限制 0001101b = 650mA 输出电流限制 …...= …... 0010100b = 1A 输出电流限制 …...= …... 0101000b = 2A 输出电流限制 …...= …... 0111100b = 3A 输出电流限制 …...= …... 1100100b = 5A 输出电流限制（默认） …...= …... 1111111b = 6.35A 输出电流限制

Copyright © 2026 Texas Instruments Incorporated

7.3 VOUT_SR 寄存器（地址 = 3h）[复位 = 00000001b]

图 7-4 中显示了 VOUT_SR，表 7-4 中对此进行了介绍。

返回汇总表。

寄存器 03h 会设置输出电压变化的转换率以及输出电流超过设置的输出电流限值后的响应延迟时间。

OCP_DELAY [1:0] 位会设置达到输出过流限制时 TPS55285A 的响应时间。响应时间使得 TPS55285A 能够在相对较短的持续时间内输出高电流。默认设置为 128 µs，以使 TPS55285A 立即限制输出电流。

SR [1:0] 位会设置输出电压变化的 1.25mV/µs、2.5mV/µs、5mV/µs 和 10mV/µs 转换率。

图 7-4. VOUT_SR 寄存器

7	6	5	4	3	2	1	0
RESERVED		OCP_DELAY		RESERVED		SR	
R-0b		R/W-00b		R-00b		R/W-01b	

表 7-4. VOUT_SR 寄存器字段说明

位	字段	类型	复位	说明
7-6	RESERVED	R	00b	保留
5-4	OCP_DELAY	R/W	00b	设置达到输出过流限值时器件的响应时间。 00b = 128 µs（默认） 01b = 延迟 1.024x 3ms 10b = 延迟 1.024x 6ms 11b = 延迟 1.024x 12ms
3-2	RESERVED	R	00b	保留
1-0	SR	R/W	01b	设置输出电压变化的转换率。 00b = 1.25mV/µs 输出变化转换率 01b = 2.5mV/µs 输出变化转换率（默认） 10b = 5mV/µs 输出变化转换率 11b = 10mV/µs 输出变化转换率

Copyright © 2026 Texas Instruments Incorporated

7.4 VOUT_FS 寄存器（地址 = 4h）[复位 = 00000011b]

图 7-5 中显示了 VOUT_FS，表 7-5 中对此进行了介绍。

返回汇总表。

寄存器 04h 会通过内部电阻分压器或外部电阻分压器设置输出电压反馈分压器的选择，并在使用内部反馈电阻分压器时设置内部反馈比率。

图 7-5. VOUT_FS 寄存器

7	6	5	4	3	2	1	0
FB	FB_OVP	RESERVED				INTFB	
R/W-0b	R/W-0b	R-0000b				R/W-11b	

表 7-5. VOUT_FS 寄存器字段说明

位	字段	类型	复位	说明
7	FB	R/W	0b	输出电压反馈分压器 0b = 使用内部输出电压反馈。FB/$\overline{\text{INT}}$ 引脚用于指示输出短路保护、过流状态和过压状态（默认）。 1b = 使用外部输出电压反馈。FB/$\overline{\text{INT}}$ 引脚是输出电压的反馈输入。
6	FB_OVP	R/W	0b	0b = 启用 FB 115% OVP（默认值） 1b = 禁用 FB 115% OVP
5-2	RESERVED	R	0000b	保留
1-0	INTFB	R/W	11b	内部反馈比 00b = 将内部反馈比设置为 0.2256 01b = 将内部反馈比设置为 0.1128 10b = 将内部反馈比设置为 0.0752 11b = 将内部反馈比设置为 0.0564（默认）

表 7-6. 输出电压与内部基准间的关系

INTFB1	INTFB0	REF=0000h	REF=001Ah	REF=0050h	REF=00F0h	REF=0780h	输出电压步长
0	0				0.8V	5V	2.5mV
0	1			0.8V		10V	5mV
1	0		0.8V			15V	7.5mV
1	1	0.8V				20V	10mV

Copyright © 2026 Texas Instruments Incorporated

7.5 CDC 寄存器（地址 = 5h）[复位 = 11110000b]

图 7-6 展示了 CDC，表 7-7 中对此进行了介绍。

返回汇总表。

寄存器 05h 为寄存器 07h 中的 SC 位、OCP 位、OVP 位和 TSD 位设置屏蔽。当设置了屏蔽位且发生相应的故障时，该器件会屏蔽 FB/$\overline{\text{INT}}$ 引脚上的故障指示

此外，寄存器 05h 设置相对于检测到的差分电压而增加到设置输出电压的电压上升。

图 7-6. CDC 寄存器

7	6	5	4	3	2	1	0
SC_MASK	OCP_MASK	OVP_MASK	TSD_MASK	CDC_OPTION	CDC		
R/W-1b	R/W-1b	R/W-1b	R/W-1b	R/W-0b	R/W-000b		

表 7-7. CDC 寄存器字段说明

位	字段	类型	复位	说明
7	SC_MASK	R/W	1b	短路屏蔽 0b = 已禁用 SC 指示 1b = 启用 SC 指示（默认）
6	OCP_MASK	R/W	1b	过流屏蔽 0b = 已禁用 OCP 指示 1b = 启用 OCP 指示（默认）
5	OVP_MASK	R/W	1b	过压屏蔽 0b = 已禁用 OVP 指示 1b = 启用 OVP 指示（默认）
4	TSD_MASK	R/W	1b	热关断屏蔽 0b = 已禁用 TSD 指示 1b = 启用 TSD 指示（默认）
3	CDC_OPTION	R/W	0b	禁用或启用电缆压降补偿功能 0b = 禁用 CDC 补偿（默认） 1b = 启用 CDC 补偿
2-0	CDC	R/W	000b	电缆上压降的补偿 000b = 0V 输出电压上升，输出电流为 5A（默认） 001b = 0.1V 输出电压上升，输出电流为 5A 010b = 0.2V 输出电压上升，输出电流为 5A 011b = 0.3V 输出电压上升，输出电流为 5A 100b = 0.4V 输出电压上升，输出电流为 5A 101b = 0.5V 输出电压上升，输出电流为 5A 110b = 0.6V 输出电压上升，输出电流为 5A 111b = 0.7V 输出电压上升，输出电流为 5A

Copyright © 2026 Texas Instruments Incorporated

7.6 MODE 寄存器（地址 = 6h）[复位 = 00100000b]

图 7-7 展示了 MODE，表 7-8 中对此进行了介绍。

返回汇总表。

MODE 控制 TPS55285A 的工作模式。

DISCHG_2 位用于控制在 Vout 降低时启用或禁用放电 FET。当 DISCHG_2 设置为 1 时，放电 FET 电流有助于在 Vout 降低时减小 FPWM 模式下的反向电流。

图 7-7. MODE 寄存器

7	6	5	4	3	2	1	0
OE	展频	断续	DISCHG	FSW		FPWM	DISCHG_2
R/W-0b	R/W-0b	R/W-1b	R/W-0b	R/W-00b		R/W-0b	R/W-0b

表 7-8. MODE 寄存器字段说明

位	字段	类型	复位	说明
7	OE	R/W	0b	启用输出 0b = 输出已禁用（默认） 1b = 输出启用
6	SPREADSPECTRUM	R/W	0b	展频功能 0b = 禁用展频功能（默认） 1b = 启用展频功能
5	断续	R/W	1b	断续模式 0b = 在输出短路保护期间禁用断续。 1b = 在输出短路保护期间启用断续（默认）
4	DISCHG	R/W	0b	输出放电 0b = 当器件处于关断模式时禁用 VOUT 放电（默认） 1b = 启用 VOUT 放电。在关断模式下，VOUT 通过内部 100mA 灌电流释放到接地端
3-2	FSW	R/W	00b	开关频率 00b = 400kHz（默认值） 01b = 800kHz 11b = 1.6MHz 11b = 2.1MHz
1	FPWM	R/W	0b	选择轻载条件下的工作模式 0b = 轻负载条件下的 PFM 工作模式（默认） 1b = 轻载条件下的 FPWM 工作模式
0	DISCHG_2	R/W	0b	0b = 当 VREF 电压下降时，启用输出放电功能。（默认值） 1b = 当 VREF 电压下降时，禁用输出放电功能。

Copyright © 2026 Texas Instruments Incorporated

7.7 STATUS 寄存器（地址 = 7h）[复位 = 00000001b]

图 7-8 展示了 STATUS，表 7-9 中对此进行了介绍。

返回汇总表。

STATUS 寄存器会存储 TPS55285A 的工作状态。当设置了任何 SCP 位、OCP 位、OVP 位或 TSD 位并且也设置了寄存器 05h 中相应的屏蔽位时，FB/$\overline{\text{INT}}$ 引脚会输出低逻辑电平来指示这种情况。读取寄存器 07h 将清除 SCP 位、OCP 位、OVP 位和 TSD 位。FB/$\overline{\text{INT}}$ 引脚状态和 SCP 位、OCP 位、OVP 位或 TSD 位会复位，直到读取寄存器 07h。如果故障情况仍然存在，则会再次设置相应的位和 FB/$\overline{\text{INT}}$ 引脚。

图 7-8. STATUS 寄存器

7	6	5	4	3	2	1	0
SCP	OCP	OVP	TSD	保留	保留	状态	
R-0b	R-0b	R-0b	R-0b	R-0b	R-0b	R-11b	

表 7-9. 状态寄存器字段说明

位	字段	类型	复位	说明
7	SCP	R	0b	短路保护 0b = 未短路 1b = 发生短路。在读取之前不会复位。
6	OCP	R	0b	过流保护 0b = 无输出过流 1b = 输出电流达到电流限值。在读取之前不会复位。
5	OVP	R	0b	过压保护 0b = 无 OVP 1b = 输出电压超过 OVP 阈值。在读取之前不会复位。
4	TSD	R	0b	热关断保护 0b = 无 TSD 1b = 发生热关断。在读取之前不会复位
3	RESERVED	R	0b	保留
2	RESERVED	R	0b	保留
1-0	状态	R	01b	运行状态 00b = 升压 01b = 降压 10b = 降压/升压 11b = 保留

Copyright © 2026 Texas Instruments Incorporated

7.8 寄存器汇总

表 7-10 汇总了 TPS55285A 中寄存器的默认设置。

表 7-10. 寄存器的默认设置

寄存器地址	寄存器名称	R/W	默认值
00h	VREF_LSB	R/W	10100100
01h	VREF_MSB	R/W	00000001
02h	IOUT_LIMIT	R/W	11100100
03h	VOUT_SR	R/W	00000001
04h	VOUT_FS	R/W	00000011
05h	CDC	R/W	11110000
06h	模式	R/W	00100000
07h	状态	R	00000001

Copyright © 2026 Texas Instruments Incorporated

8 应用和实施

备注

以下应用部分中的信息不属于 TI 元件规格，TI 不担保其准确性和完整性。TI 的客户负责确定元件是否适合其用途，以及验证和测试其设计实现以确认系统功能。

8.1 应用信息

TPS55285A 在 2.4V 至 22V 的宽输入电压范围内工作，输出电压为 0.8V 至 22V。根据输入电压和设置的输出电压，TPS55285A 可以在降压模式、降压/升压模式和升压模式之间平稳转换。当输入电压大于输出电压时，TPS55285A 在降压模式下运行，而当输入电压小于输出电压时，则在升压模式下运行。当输入电压接近输出电压时，TPS55285A 以一个周期降压和一个周期升压的模式交替运行。为了降低高功率条件下的开关功率损耗，TI 建议将开关频率设置为 500kHz 以下。如果系统需要高于 500kHz 的开关频率，TI 建议在较低的开关电流下运行，以实现更好的热性能。

8.2 典型应用

TPS55285A 可在 5V 至 22V 的输入电压范围内提供小尺寸电源应用。

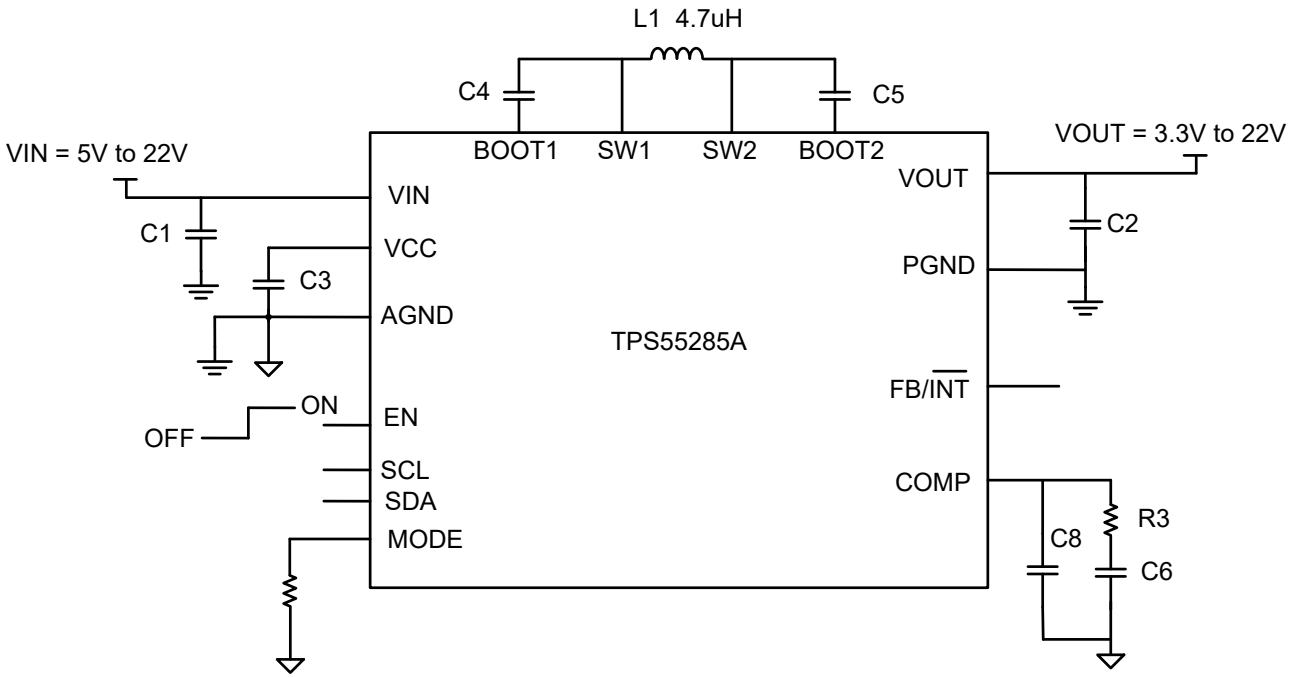


图 8-1. 输入电压为 5V 至 22V 的电源

Copyright © 2026 Texas Instruments Incorporated

8.2.1 设计要求

表 8-1 列出了设计参数：

表 8-1. 设计参数

参数	值
输入电压	5V 至 22V
输出电压	3.3V 至 22V
输出电流限制	3A
输出电压纹波	±50mV
轻负载时的运行模式	FPWM

8.2.2 详细设计过程

8.2.2.1 开关频率

TPS55285A 的开关频率由 06H 寄存器上的 FSW 位设置。对于这种高电流应用，为降低开关功率损耗，选择了 400kHz 的开关频率。

8.2.2.2 输出电压设置

TPS55285A 具有 I²C 接口来设置内部基准电压。微控制器能够通过 I²C 总线将适当数据写入基准电压寄存器，从而轻松设置所需的输出电压。

8.2.2.3 电感器选型

由于电感器的选择会影响稳态运行、瞬态行为和环路稳定性，因此电感器是进行电源稳压器设计时最重要的元件。有三种重要的电感器规格：电感、饱和电流和直流电阻。

TPS55285A 可与 1μH 至 10μH 的电感器配合使用。电感器的选择需考虑降压和升压运行模式。

内部电流环路使用内部补偿，要求电感值大于 1.2/fSW。

对于降压模式，选择的电感器要将峰峰值电流纹波限制为最大输入电压下的最大电感器电流。方程式 5 展示了 CCM 中电感与电感器纹波电流之间的关系。

$$L=\frac{(V_{IN(MAX)}-V_{OUT})\times V_{OUT}}{\Delta I_{L(P-P)}\times f_{SW}\times V_{IN(MAX)}} \quad (5)$$

其中

- $V_{IN(MAX)}$ 为最大输入电压
- V_{OUT} 是输出电压
- $\Delta I_{L(P-P)}$ 是电感器的峰峰值纹波电流
- f_{SW} 为开关频率

对于特定电感器，当 VOUT 等于最大输入电压的一半时，电感器纹波电流会达到最大值。选择更大的电感会产生更小的电感器电流纹波，而选择更小的电感会产生更大的电感器电流纹波。

对于升压模式，选择的电感器要将峰峰值电流纹波限制为最大输出电压下的最大电感器电流。方程式 6 展示了 CCM 中电感与电感器纹波电流之间的关系。

$$L=\frac{V_{IN}\times(V_{OUT(MAX)}-V_{IN})}{\Delta I_{L(P-P)}\times f_{SW}\times V_{OUT(MAX)}} \quad (6)$$

其中

- V_{IN} 是输入电压

Copyright © 2026 Texas Instruments Incorporated

- $V_{OUT(MAX)}$ 是最大输出电压
- $\Delta I_{L(P-P)}$ 是电感器的峰峰值纹波电流
- f_{SW} 为开关频率

对于特定电感器，当 V_{IN} 等于最大输出电压的一半时，电感器纹波电流可达到最大值。选择更大的电感会产生更小的电感器电流纹波，而选择更小的电感会产生更大的电感器电流纹波。

本应用示例选择了 4.7µH 的电感器，约产生的最大电感器电流纹波为降压模式下最高平均电感器电流的 50%，升压模式下最高平均电感器电流的 50%。

在降压模式下，电感器直流电流等于输出电流。在升压模式下，电感器直流电流由 方程式 7 计算得出。

$$I_{L(DC)} = \frac{V_{OUT} \times I_{OUT}}{V_{IN} \times \eta} \tag{7}$$

其中

- V_{OUT} 是输出电压
- I_{OUT} 是输出电流
- V_{IN} 是输入电压
- η 是电源转换效率

对于降压/升压转换器 TPS55285A 的给定最大输出电流，在最小输入电压和最大输出电压下可达到最大电感器直流电流。将 TPS55285A 的电感器电流限值设置为高于计算得出的最大电感器直流电流，可确保 TPS55285A 能够提供所需的输出电流。

在升压模式下，电感器纹波电流由方程式 8 计算得出。

$$\Delta I_{L(P-P)} = \frac{V_{IN} \times (V_{OUT} - V_{IN})}{L \times f_{SW} \times V_{OUT}} \tag{8}$$

其中

- $\Delta I_{L(P-P)}$ 是电感器纹波电流
- L 是电感器值
- f_{SW} 为开关频率
- V_{OUT} 是输出电压
- V_{IN} 是输入电压

因此，电感器峰值电流根据方程式 9 计算得出。

$$I_{L(P)} = I_{L(DC)} + \frac{\Delta I_{L(P-P)}}{2} \tag{9}$$

正常情况下，建议使用的电感器峰峰值电流应小于电感器平均电流的 40%，以获得最大输出电流。电感值较大的电感器会产生较小的纹波，可降低电感器中的磁滞损耗和 EMI，但同时负载瞬态响应时间也会增加。所选电感器的饱和电流需要高于计算出的峰值电流。

转换效率取决于电流路径的电阻。与开关 MOSFET 相关的开关损耗和电感器内芯损耗。因此，整体效率受电感器直流电阻 (DCR)、开关频率下的等效串联电阻 (ESR) 和内芯损耗的影响。表 8-2 列出了为 TPS55285A 推荐的电感器。在本应用示例中，选择了 Coilcraft 电感器 XAL7070-472，因为它具有小尺寸、高饱和电流和低 DCR。

表 8-2. 建议的电感器

器件型号	L (µH)	DCR（最大值）(mΩ)	饱和电流/额定热电流 (A)	尺寸（长 × 宽 × 高 mm）	供应商(1)
XAL7070-472ME	4.7	14.3	15.2/10.5	7.5 × 7.2 × 7.0	Coilcraft

Copyright © 2026 Texas Instruments Incorporated

表 8-2. 建议的电感器（续）

器件型号	L (μH)	DCR（最大值）(mΩ)	饱和电流/额定热电流 (A)	尺寸（长 × 宽 × 高 mm）	供应商(1)
VCHA085D-4R7MS6	4.7	15.6	16.0/8.8	8.7 × 8.2 × 5.2	Cyntec
IHLP4040DZER4R7M01	4.7	16.5	17/9.5	10.2 × 10.2 × 4.0	Vishay

(1) 请参阅*第三方产品*免责声明。

8.2.2.4 输入电容器

在降压模式下，输入电容器可提供高纹波电流。输入电容器的均方根电流由方程式 10 给出。

$$I_{CIN(RMS)} = I_{OUT} \times \sqrt{\frac{V_{OUT} \times (V_{IN} - V_{OUT})}{V_{IN} \times V_{IN}}} \quad (10)$$

其中

- $I_{CIN(RMS)}$ 是流经输入电容器的 RMS 电流
- I_{OUT} 是输出电流

输出电压为输入电压的一半时可产生最大 RMS 电流，即 $I_{CIN(RMS)} = I_{OUT}/2$。TI 建议使用陶瓷电容器，以提供低 ESR 和高纹波电流。总计 20μF 的有效电容对于此应用是个良好的起点。

8.2.2.5 输出电容器

在升压模式下，输出电容器会出现高纹波电流。输出电容器 RMS 纹波电流由方程式 11 得出，其中最小输入电压和最大输出电压对应于最大电容器电流。

$$I_{COUT(RMS)} = I_{OUT} \times \sqrt{\frac{V_{OUT}}{V_{IN}} - 1} \quad (11)$$

其中

- $I_{COUT(RMS)}$ 是流经输出电容器的 RMS 电流
- I_{OUT} 是输出电流

在此示例中，最大输出纹波 RMS 电流为 2.8A。

在升压模式下，输出电容器的 ESR 会导致输出电压纹波，可由方程式 12 计算得出。

$$V_{RIPPLE(ESR)} = \frac{I_{OUT} \times V_{OUT}}{V_{IN}} \times R_{COUT} \quad (12)$$

其中

- R_{COUT} 是输入电容的 ESR

在升压模式下，该电容还会导致电容输出电压纹波，可由方程式 13 计算得出。当输入电压达到最小值、输出电压达到最大值时，电容会产生最大的输出电压纹波。

$$V_{RIPPLE(CAP)} = \frac{I_{OUT} \times \left(1 - \frac{V_{IN}}{V_{OUT}}\right)}{C_{OUT} \times f_{SW}} \quad (13)$$

通常，需要结合使用陶瓷电容器和大容量电解电容器，来提供低 ESR、高纹波电流和低输出电压纹波。根据所需的输出电压纹波，使用方程式 12 和方程式 13 计算所需的最小有效电容 C_{OUT}。

Copyright © 2026 Texas Instruments Incorporated

8.2.2.6 输出电流限制

输出电流限制通过寄存器 02h 进行设置，步长为 50mA。输出电流限制的最大值为 6.35A，输出电流限制的最小值为 500mA。默认限制电压为 5A。

8.2.2.7 环路稳定性

TPS55285A 采用平均电流控制方案。内部电流环路使用内部补偿，要求电感值大于 $1.2/f_{SW}$。外部电压环路需要外部补偿。COMP 引脚是内部电压误差放大器的输出。一个由电阻器和陶瓷电容器组成的外部补偿网络连接至 COMP 引脚。

TPS55285A 以降压模式或升压模式运行。因此，降压和升压运行模式都需要环路补偿。从环路稳定性的角度来看，两种补偿中限制性较高的应被选为整体补偿。通常，对于设计为在降压模式或升压模式下运行的转换器，由于存在右半平面零点 (RHPZ)，升压模式补偿设计具有更严格的限制。

升压模式下的功率级可通过方程式 14 建模。

$$G_{PS}(s) = \frac{R_{LOAD} \times (1-D)}{2 \times R_{SENSE}} \times \frac{\left(1 + \frac{s}{2\pi \times f_{ESRZ}}\right) \times \left(1 - \frac{s}{2\pi \times f_{RHPZ}}\right)}{1 + \frac{s}{2\pi \times f_P}} \tag{14}$$

其中

- R_{LOAD} 是输出负载电阻
- D 是升压模式下的开关占空比
- R_{SENSE} 是等效的内部电流检测电阻，为 0.055Ω

功率级有两个零点和一个极点，由输出电容器和负载电阻生成。根据 方程式 15 到 方程式 17 来计算这些值。

$$f_P = \frac{2}{2\pi \times R_{LOAD} \times C_{OUT}} \tag{15}$$

$$f_{ESRZ} = \frac{1}{2\pi \times R_{COUT} \times C_{OUT}} \tag{16}$$

$$f_{RHPZ} = \frac{R_{LOAD} \times (1-D)^2}{2\pi \times L} \tag{17}$$

内部跨导放大器与 COMP 引脚上的补偿网络构成了环路的控制部分。控制部分的传递函数如方程式 18 所示。

$$G_C(s) = \frac{G_{EA} \times R_{EA} \times V_{REF}}{V_{OUT}} \times \frac{\left(1 + \frac{s}{2\pi \times f_{COMZ}}\right)}{\left(1 + \frac{s}{2\pi \times f_{COMP1}}\right) \times \left(1 + \frac{s}{2\pi \times f_{COMP2}}\right)} \tag{18}$$

其中

- G_{EA} 是误差放大器的跨导
- R_{EA} 是误差放大器的输出电阻
- V_{REF} 是误差放大器的基准电压输入
- V_{OUT} 是输出电压
- f_{COMP1} 和 f_{COMP2} 是补偿网络极点的频率
- f_{COMZ} 是补偿网络的零点频率

Copyright © 2026 Texas Instruments Incorporated

开环总增益是 G_{PS} 和 G_C 的乘积。下一步是选择环路交叉频率 f_C，在该频率下开环总增益为 1，即 0dB。环路增益在交叉之前保持在 0dB 以上的频率越高，环路响应越快。通常，环路增益在 0dB 交叉时的频率不高于开关频率 f_{SW} 的 1/10 或 RHPZ 频率 f_{RHPZ} 的 1/5，两者中以较低者为准。

然后根据方程式 19 到方程式 21 设置 R_C、C_C 和 C_P 的值。

$$R_C = \frac{2\pi \times V_{OUT} \times R_{SENSE} \times C_{OUT} \times f_C}{(1-D) \times V_{REF} \times G_{EA}} \tag{19}$$

其中

- f_C 是所选的交叉频率

$$C_C = \frac{R_{LOAD} \times C_{OUT}}{2 \times R_C} \tag{20}$$

$$C_P = \frac{R_{COUT} \times C_{OUT}}{R_C} \tag{21}$$

如果计算得出的 C_P 小于 10pF，则 C_P 允许将其保持开路状态。

设计大于 45° 相位裕度和大于 10dB 增益裕度的环路，可消除线路和负载瞬态期间的输出电压振铃。

Copyright © 2026 Texas Instruments Incorporated

8.2.3 应用曲线

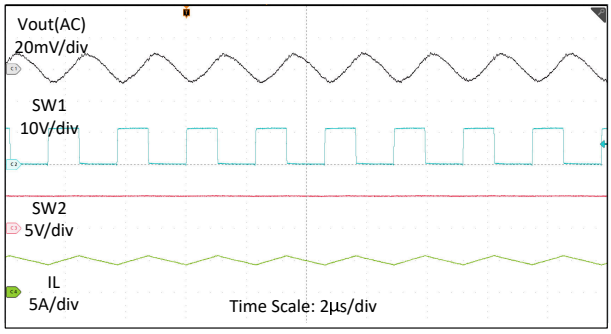


图 8-2. V_{IN} = 12V、V_{OUT} = 5V、I_O = 5A 时的开关波形（FPWM 模式）

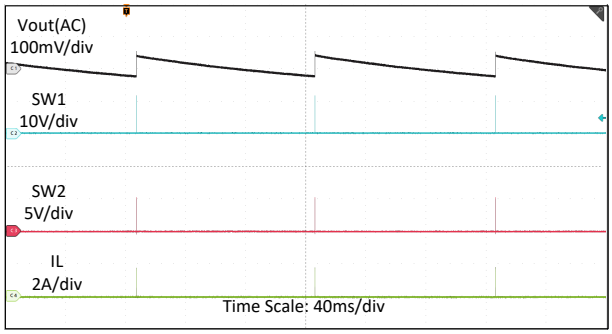


图 8-3. V_{IN} = 12V、V_{OUT} = 5V、I_O = 0A 时的开关波形（PFM 模式）

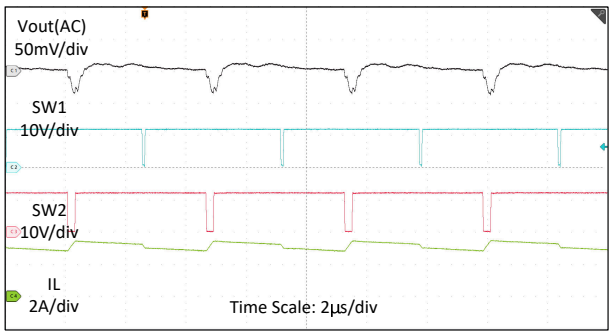


图 8-4. V_{IN} = 12V、V_{OUT} = 12V、I_O = 3A 时的开关波形（FPWM 模式）

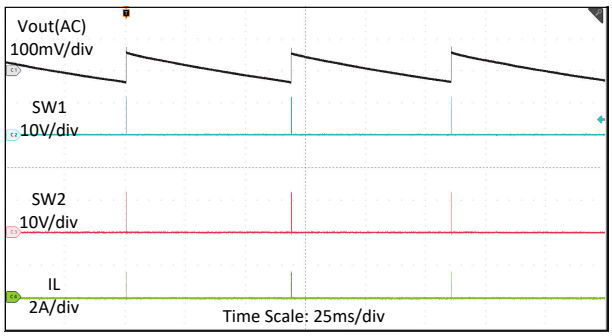


图 8-5. V_{IN} = 12V、V_{OUT} = 12V、I_O = 0A 时的开关波形（PFM 模式）

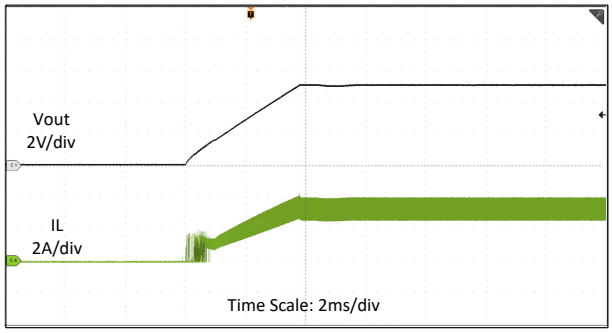


图 8-6. V_{IN} = 12V、V_{OUT} = 5V、R_{LOAD} = 1.5Ω 时的启动波形（FPWM 模式）

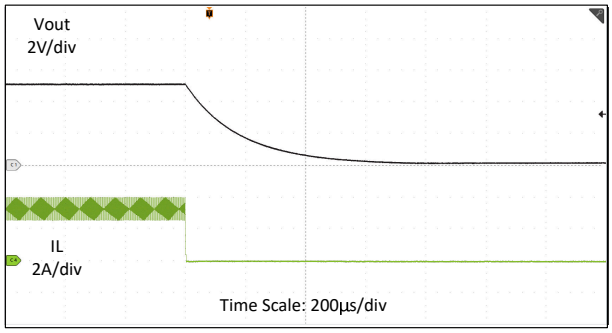


图 8-7. V_{IN} = 12V、V_{OUT} = 5V、R_{LOAD} = 1.5Ω 时的关断波形（FPWM 模式）

Copyright © 2026 Texas Instruments Incorporated

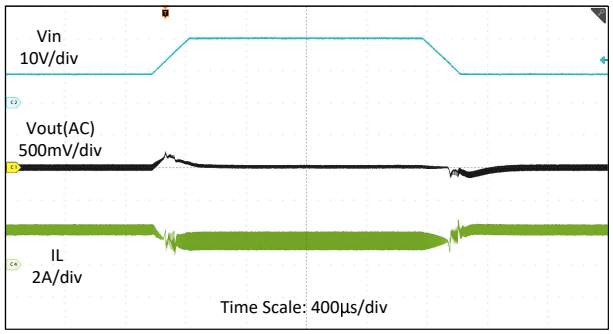


图 8-8. V_{IN} = 9V 至 20V、V_{OUT} = 12V、I_O = 3A、200 µs 转换率时的线路瞬态波形（FPWM 模式）

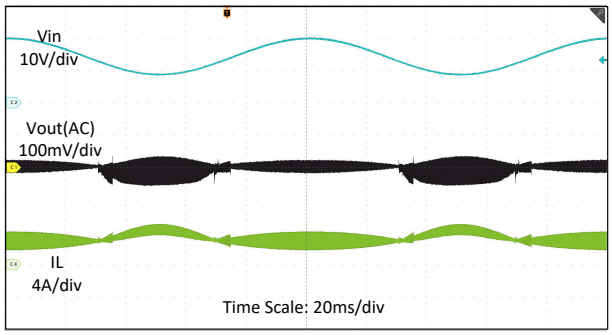


图 8-9. V_{IN} = 9V 至 20V、V_{OUT} = 12V、I_O = 3A 时的行扫描波形（FPWM 模式）

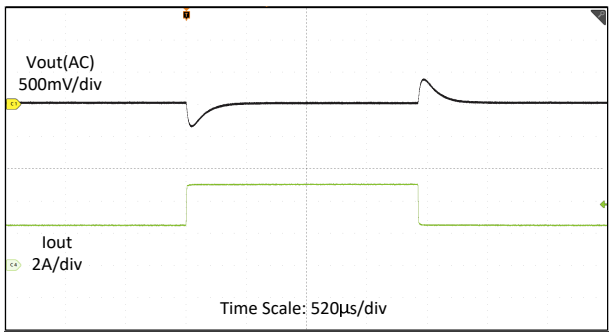


图 8-10. V_{IN} = 12V、V_{OUT} = 5V、I_O = 2.5A 至 5A、压摆率为 2.5A/ µs 时的负载瞬态波形（FPWM 模式）

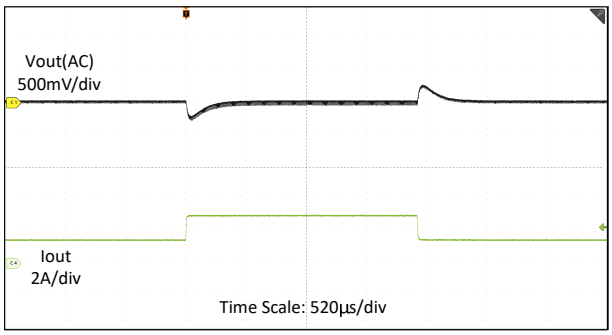


图 8-11. V_{IN} = 12V、V_{OUT} = 12V、I_O = 1.5A 至 3A、压摆率为 2.5A/ µs 时的负载瞬态波形（FPWM 模式）

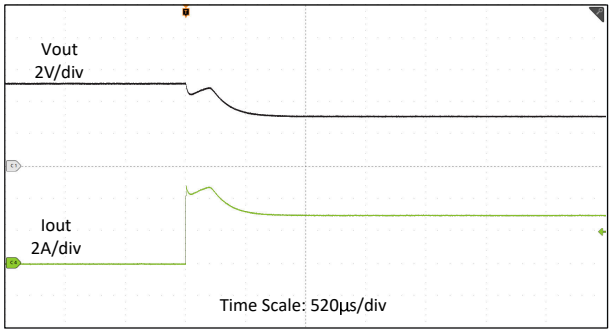


图 8-12. V_{IN} = 12V、V_{OUT} = 5V、R_{LOAD} = 1 Ω 时的 3A 输出电流限制波形

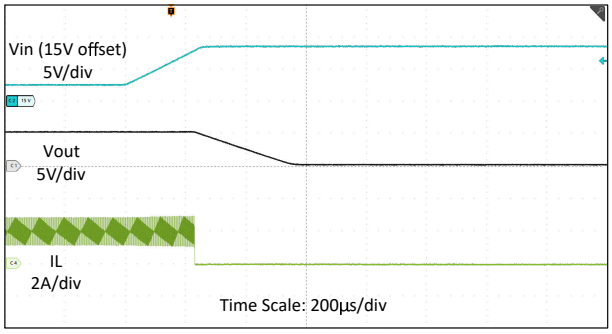


图 8-13. V_{IN} = 18V 至 24V、V_{OUT} = 5V、I_O = 2A 时的 VIN OVP 波形

Copyright © 2026 Texas Instruments Incorporated

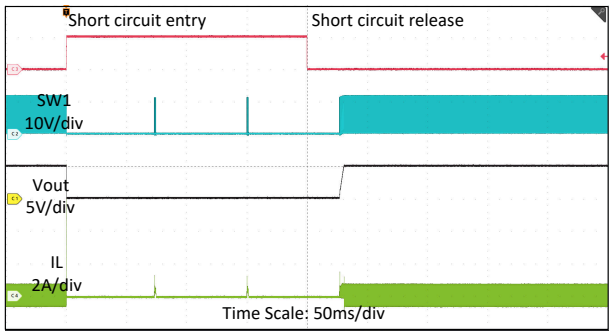


图 8-14. V_{IN} = 12V、V_{OUT} = 5V、I_{OUT} = 0.1A 时的短路保护

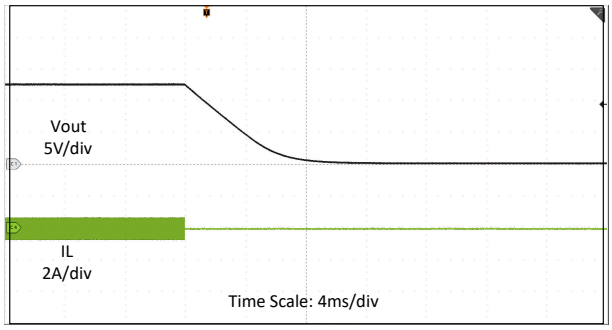


图 8-15. V_{IN} = 12V、V_{OUT} = 5V、I_{OUT} = 0A 时的输出放电

8.3 电源相关建议

该器件设计为可在 3.0V 至 22V 的输入电源电压范围内运行。TPS55285A 需要经过良好稳压的输入电源。如果输入电源距离转换器超过几英寸，那么除了陶瓷旁路电容器之外可能还需要额外的大容量电容。通常，选择值为 100 µ F 的铝电解电容器。

8.4 布局

8.4.1 布局指南

对于所有开关电源，尤其是以高开关频率和高电流运行的开关电源，布局设计是一个重要的设计步骤。如果未仔细布局，稳压器会出现不稳定和噪声问题。

1. 将 0.1 µ F 小型封装 (0402) 陶瓷电容器放置在 VIN/VOUT 引脚附近，可更大限度地减少高频电流环路，从而改善高频噪声 (EMI) 辐射，提升效率。
2. 在 PGND 引脚附近使用多个 GND 过孔将 PGND 连接到内部接地层，可提高热性能。
3. 应尽量减小 SW1 和 SW2 环路区域，因为它们是高 dv/dt 节点。在开关稳压器下方使用接地层，可更大限度地减少层间耦合。
4. 将 BOOT1 自举电容器靠近 IC 放置，并直接连接到 BOOT1 与 SW1 引脚。将 BOOT2 自举电容器靠近 IC 放置，并直接连接到 BOOT2 与 SW2 引脚。
5. 将 VCC 电容器靠近 IC 放置，使用宽而短的迹线。VCC 电容器的 GND 端子应通过三到四个过孔直接连接到 PGND 平面。
6. 将电源接地与模拟接地隔离。PGND 平面和 AGND 平面在 VCC 电容器的端子上连接。因此，由 MOSFET 驱动器和寄生电感引起的噪声不会影响到 AGND 和内部控制电路。
7. 补偿元件应尽量靠近 COMP 引脚放置。将补偿元件、反馈元件和其他敏感模拟电路远离电源元件、开关节点 SW1 和 SW2 以及高电流布线，防止噪声耦合到模拟信号中。
8. 为了提高热性能，TI 建议使用散热过孔，分别将 VIN 引脚连接到较大的 VIN 区域，将 VOUT 引脚连接到较大的 VOUT 区域。

Copyright © 2026 Texas Instruments Incorporated

8.4.2 布局示例

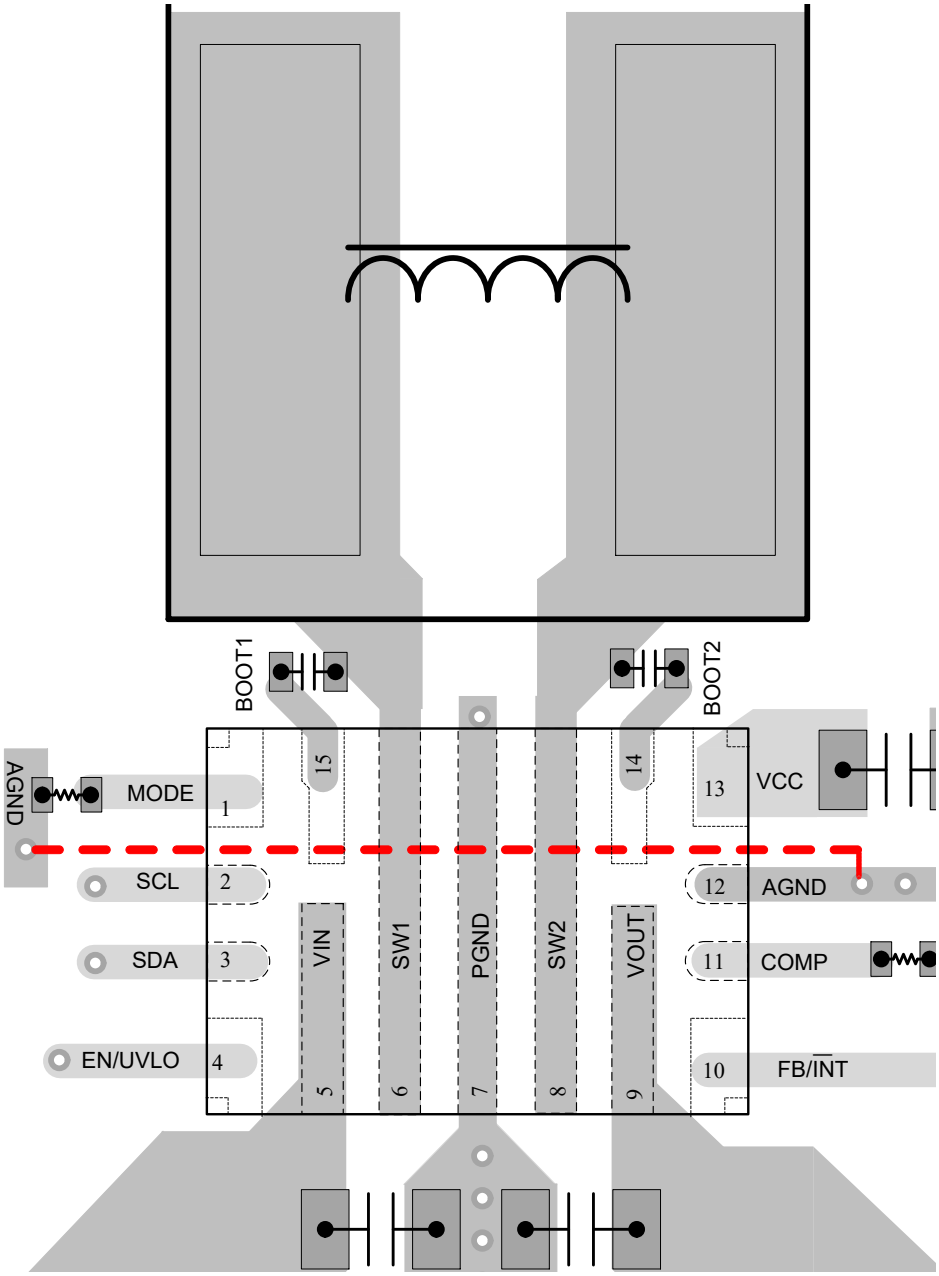


图 8-16. 布局示例

9 器件和文档支持

9.1 器件支持

9.1.1 第三方产品免责声明

TI 发布的与第三方产品或服务有关的信息，不能构成与此类产品或服务或保修的适用性有关的认可，不能构成此类产品或服务单独或与任何 TI 产品或服务一起的表示或认可。

9.2 接收文档更新通知

要接收文档更新通知，请导航至 ti.com 上的器件产品文件夹。点击*通知* 进行注册，即可每周接收产品信息更改摘要。有关更改的详细信息，请查看任何已修订文档中包含的修订历史记录。

9.3 支持资源

TI E2E™ 中文支持论坛是工程师的重要参考资料，可直接从专家处获得快速、经过验证的解答和设计帮助。搜索现有解答或提出自己的问题，获得所需的快速设计帮助。

链接的内容由各个贡献者“按原样”提供。这些内容并不构成 TI 技术规范，并且不一定反映 TI 的观点；请参阅 TI 的使用条款。

9.4 商标

HotRod™ and TI E2E™ are trademarks of Texas Instruments.
所有商标均为其各自所有者的财产。

9.5 静电放电警告

静电放电 (ESD) 会损坏这个集成电路。德州仪器 (TI) 建议通过适当的预防措施处理所有集成电路。如果不遵守正确的处理和安装程序，可能会损坏集成电路。

ESD 的损坏小至导致微小的性能降级，大至整个器件故障。精密的集成电路可能更容易受到损坏，这是因为非常细微的参数更改都可能会导致器件与其发布的规格不相符。

9.6 术语表

TI 术语表　　本术语表列出并解释了术语、首字母缩略词和定义。

10 修订历史记录

日期	修订版本	注释
July 2026	*	初始发行版

Copyright © 2026 Texas Instruments Incorporated

11 机械、封装和可订购信息

以下页面包含机械、封装和可订购信息。这些信息是指定器件可用的最新数据。数据如有变更，恕不另行通知，且不会对此文档进行修订。有关此数据表的浏览器版本，请查阅左侧的导航栏。

Copyright © 2026 Texas Instruments Incorporated

PACKAGING INFORMATION

Orderable part number	Status (1)	Material type (2)	Package | Pins	Package qty | Carrier	RoHS (3)	Lead finish/ Ball material (4)	MSL rating/ Peak reflow (5)	Op temp (°C)	Part marking (6)
TPS55285AVALR	Active	Production	WQFN-HR (VAL) | 15	3000 | LARGE T&R	Yes	SN	Level-2-260C-1 YEAR	-40 to 125	55285A

(1) **Status:** For more details on status, see our product life cycle.

(2) **Material type:** When designated, preproduction parts are prototypes/experimental devices, and are not yet approved or released for full production. Testing and final process, including without limitation quality assurance, reliability performance testing, and/or process qualification, may not yet be complete, and this item is subject to further changes or possible discontinuation. If available for ordering, purchases will be subject to an additional waiver at checkout, and are intended for early internal evaluation purposes only. These items are sold without warranties of any kind.

(3) **RoHS values:** Yes, No, RoHS Exempt. See the TI RoHS Statement for additional information and value definition.

(4) **Lead finish/Ball material:** Parts may have multiple material finish options. Finish options are separated by a vertical ruled line. Lead finish/Ball material values may wrap to two lines if the finish value exceeds the maximum column width.

(5) **MSL rating/Peak reflow:** The moisture sensitivity level ratings and peak solder (reflow) temperatures. In the event that a part has multiple moisture sensitivity ratings, only the lowest level per JEDEC standards is shown. Refer to the shipping label for the actual reflow temperature that will be used to mount the part to the printed circuit board.

(6) **Part marking:** There may be an additional marking, which relates to the logo, the lot trace code information, or the environmental category of the part.

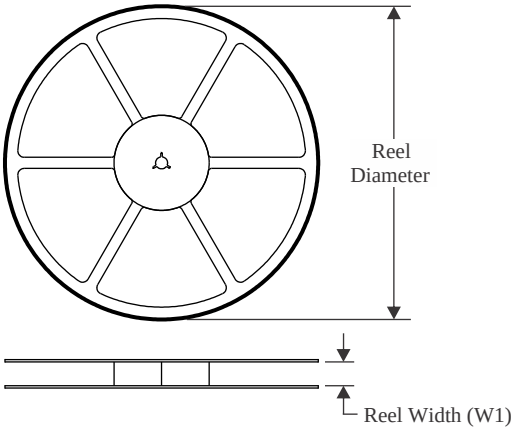
Multiple part markings will be inside parentheses. Only one part marking contained in parentheses and separated by a "~" will appear on a part. If a line is indented then it is a continuation of the previous line and the two combined represent the entire part marking for that device.

Important Information and Disclaimer: The information provided on this page represents TI's knowledge and belief as of the date that it is provided. TI bases its knowledge and belief on information provided by third parties, and makes no representation or warranty as to the accuracy of such information. Efforts are underway to better integrate information from third parties. TI has taken and continues to take reasonable steps to provide representative and accurate information but may not have conducted destructive testing or chemical analysis on incoming materials and chemicals. TI and TI suppliers consider certain information to be proprietary, and thus CAS numbers and other limited information may not be available for release.

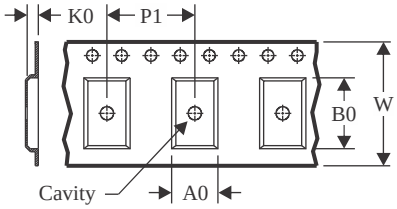
In no event shall TI's liability arising out of such information exceed the total purchase price of the TI part(s) at issue in this document sold by TI to Customer on an annual basis.

TAPE AND REEL INFORMATION

REEL DIMENSIONS

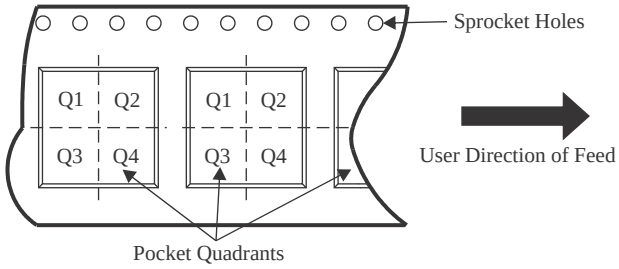


TAPE DIMENSIONS



A0	Dimension designed to accommodate the component width
B0	Dimension designed to accommodate the component length
K0	Dimension designed to accommodate the component thickness
W	Overall width of the carrier tape
P1	Pitch between successive cavity centers

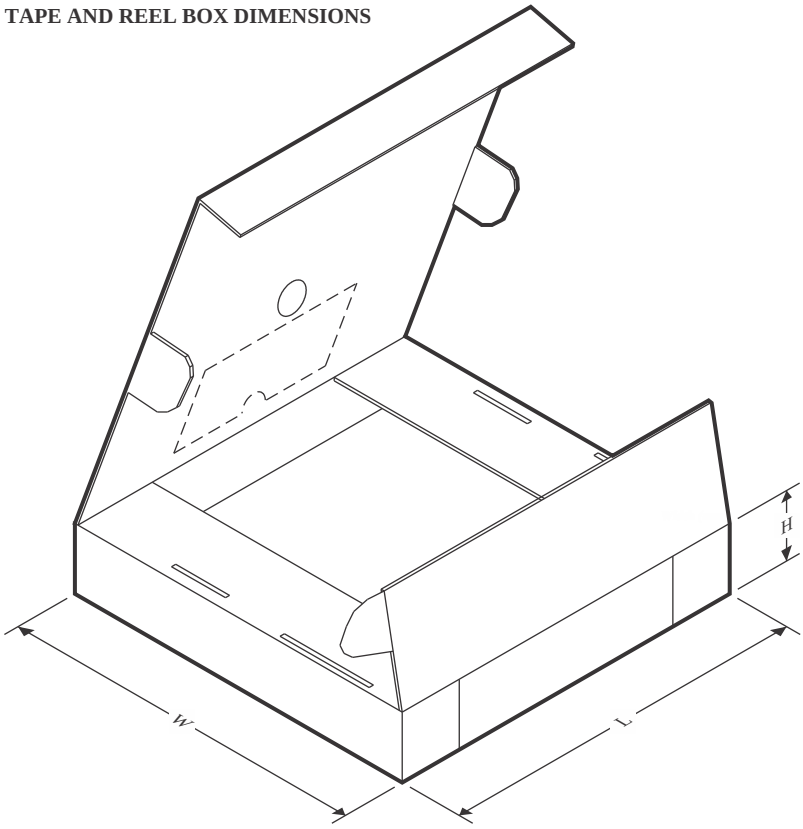
QUADRANT ASSIGNMENTS FOR PIN 1 ORIENTATION IN TAPE



*All dimensions are nominal

Device	Package Type	Package Drawing	Pins	SPQ	Reel Diameter (mm)	Reel Width W1 (mm)	A0 (mm)	B0 (mm)	K0 (mm)	P1 (mm)	W (mm)	Pin1 Quadrant
TPS55285AVALR	WQFN-HR	VAL	15	3000	180.0	12.4	2.8	3.8	1.2	4.0	12.0	Q2

TAPE AND REEL BOX DIMENSIONS



*All dimensions are nominal

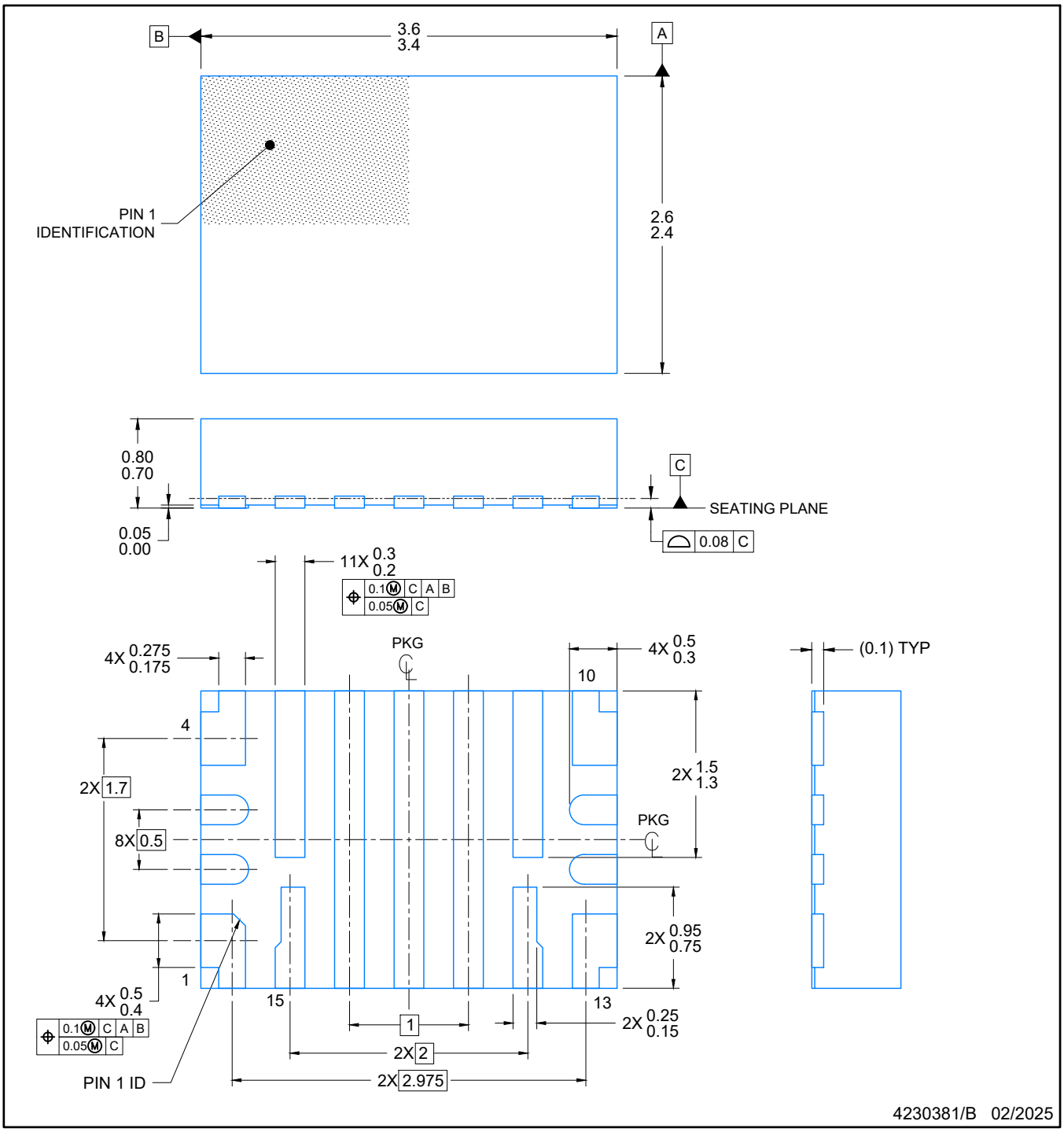
Device	Package Type	Package Drawing	Pins	SPQ	Length (mm)	Width (mm)	Height (mm)
TPS55285AVALR	WQFN-HR	VAL	15	3000	210.0	185.0	35.0

PACKAGE OUTLINE

VAL0015A

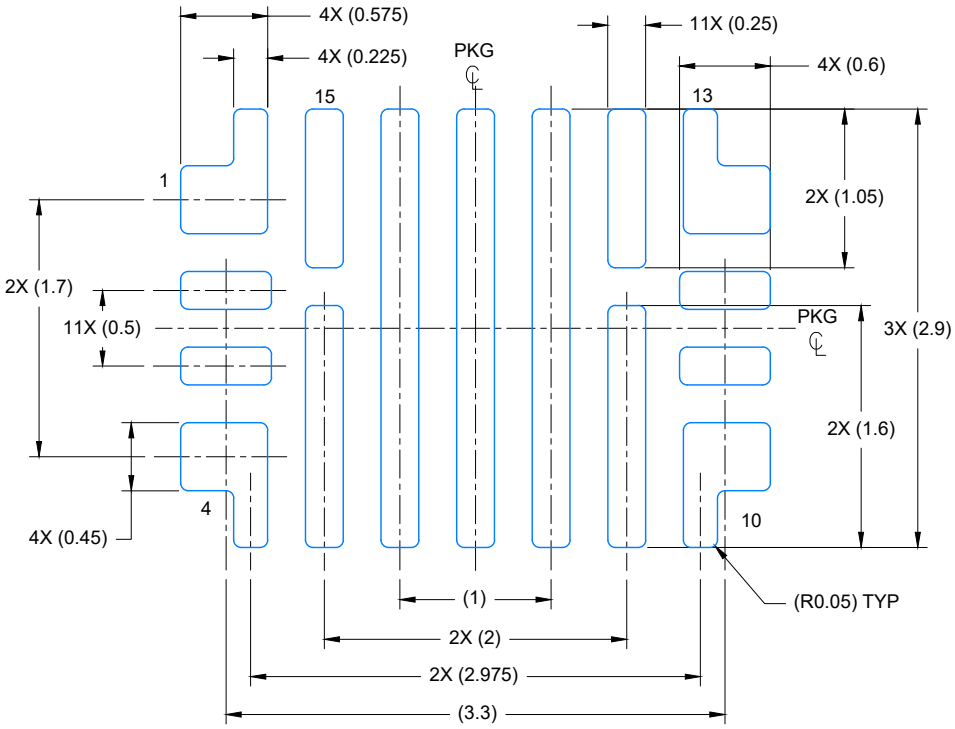
WQFN-HR - 0.8 mm max height

PLASTIC QUAD FLATPACK-NO LEAD

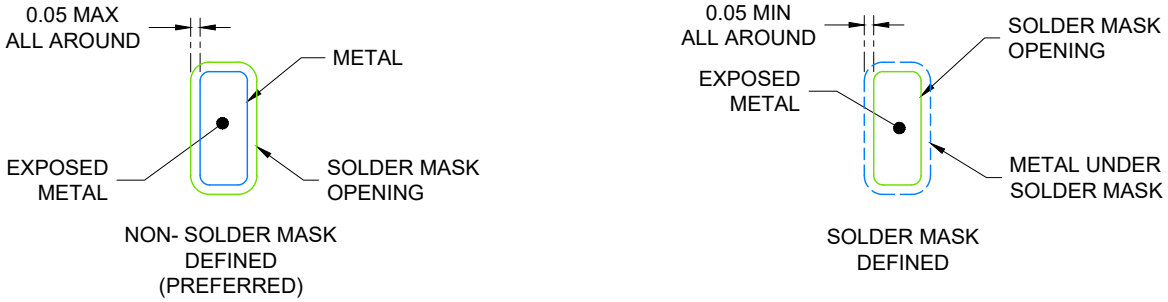


NOTES:

1. All linear dimensions are in millimeters. Any dimensions in parenthesis are for reference only. Dimensioning and tolerancing per ASME Y14.5M.
2. This drawing is subject to change without notice.



LAND PATTERN EXAMPLE
EXPOSED METAL SHOWN
SCALE: 20X

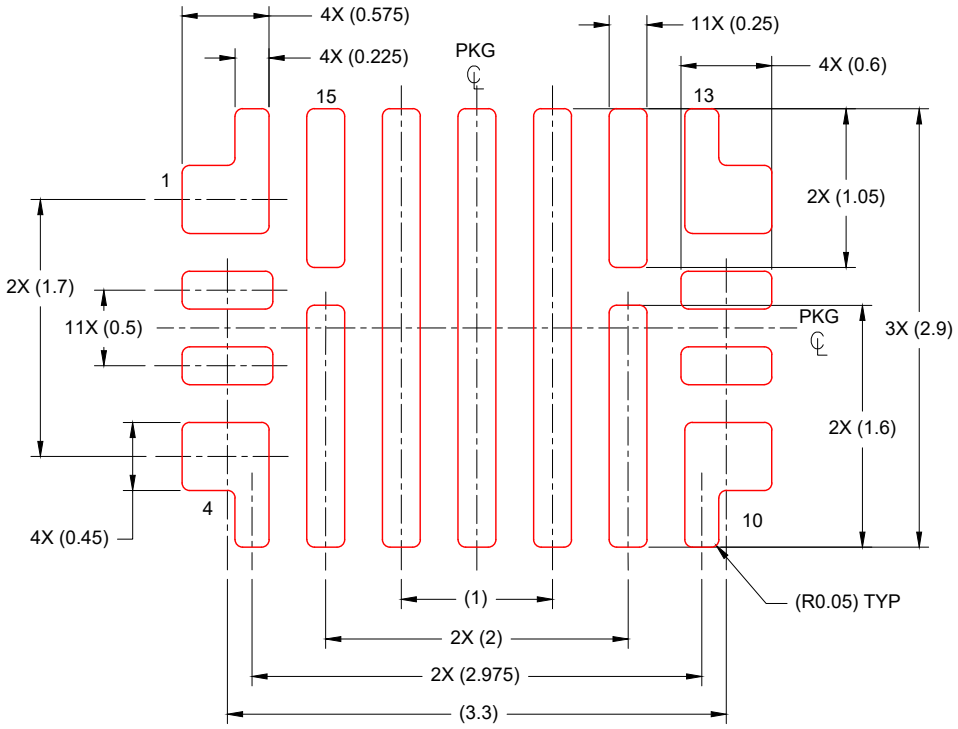


SOLDER MASK DETAILS
NOT TO SCALE

4230381/B 02/2025

NOTES: (continued)

3. For more information, see Texas Instruments literature number SLUA271 (www.ti.com/lit/slua271).
4. Solder mask tolerances between and around signal pads can vary based on board fabrication site.



SOLDER PASTE EXAMPLE
BASED ON 0.1 mm THICK STENCIL
SCALE: 20X

4230381/B 02/2025

NOTES: (continued)

5. Laser cutting apertures with trapezoidal walls and rounded corners may offer better paste release. IPC-7525 may have alternate design recommendations.

重要通知和免责声明

TI“按原样”提供技术和可靠性数据（包括数据表）、设计资源（包括参考设计）、应用或其他设计建议、网络工具、安全信息和其他资源，不保证没有瑕疵且不做出任何明示或暗示的担保，包括但不限于对适销性、与某特定用途的适用性或不侵犯任何第三方知识产权的暗示担保。

这些资源可供使用 TI 产品进行设计的熟练开发人员使用。您将自行承担以下全部责任：(1) 针对您的应用选择合适的 TI 产品，(2) 设计、验证并测试您的应用，(3) 确保您的应用满足相应标准以及任何其他安全、安保法规或其他要求。

这些资源如有变更，恕不另行通知。TI 授权您仅可将这些资源用于研发本资源所述的 TI 产品的相关应用。严禁以其他方式对这些资源进行复制或展示。您无权使用任何其他 TI 知识产权或任何第三方知识产权。对于因您对这些资源的使用而对 TI 及其代表造成的任何索赔、损害、成本、损失和债务，您将全额赔偿，TI 对此概不负责。

TI 提供的产品受 TI 销售条款)、TI 通用质量指南 或 ti.com 上其他适用条款或 TI 产品随附的其他适用条款的约束。TI 提供这些资源并不会扩展或以其他方式更改 TI 针对 TI 产品发布的适用的担保或担保免责声明。 除非德州仪器 (TI) 明确将某产品指定为定制产品或客户特定产品，否则其产品均为按确定价格收入目录的标准通用器件。

TI 反对并拒绝您可能提出的任何其他或不同的条款。

版权所有 © 2026，德州仪器 (TI) 公司

最后更新日期：2025 年 10 月